

Zaštitno gazište oko preše

Širanović, Borna

Undergraduate thesis / Završni rad

2022

Degree Grantor / Ustanova koja je dodijelila akademski / stručni stupanj: **University of Zagreb, Faculty of Mechanical Engineering and Naval Architecture / Sveučilište u Zagrebu, Fakultet strojarstva i brodogradnje**

Permanent link / Trajna poveznica: <https://urn.nsk.hr/urn:nbn:hr:235:258773>

Rights / Prava: [Attribution-NonCommercial 4.0 International/Imenovanje-Nekomercijalno 4.0 međunarodna](#)

Download date / Datum preuzimanja: **2024-05-19**

Repository / Repozitorij:

[Repository of Faculty of Mechanical Engineering and Naval Architecture University of Zagreb](#)



SVEUČILIŠTE U ZAGREBU
FAKULTET STROJARSTVA I BRODOGRADNJE

ZAVRŠNI RAD

Borna Širanović

Zagreb, 2022.

SVEUČILIŠTE U ZAGREBU
FAKULTET STROJARSTVA I BRODOGRADNJE

ZAVRŠNI RAD

Mentori:

Dr. sc. Milan Kostelac, dipl. ing.

Student:

Borna Širanović

Zagreb, 2022.

Izjavljujem da sam ovaj rad izradio samostalno koristeći znanja stečena tijekom studija i navedenu literaturu.

Zahvaljujem se svom mentoru Dr. sc. Milanu Kostelcu na ukazanoj pomoći i razumijevanju tijekom izrade ovog zadatka.

Također, zahvaljujem se svojoj obitelji i prijateljima na pruženoj ljubavi i podršci tijekom cijelog studija. Bez njih ovaj rad ne bi bio moguć.

Borna Širanović



SVEUČILIŠTE U ZAGREBU
FAKULTET STROJARSTVA I BRODOGRADNJE

Središnje povjerenstvo za završne i diplomske ispite



Povjerenstvo za završne i diplomske ispite studija strojarstva za smjerove:

Procesno-energetski, konstrukcijski, inženjersko modeliranje i računalne simulacije i brodostrojarski

Sveučilište u Zagrebu Fakultet strojarstva i brodogradnje	
Datum	Prilog
Klasa: 602 – 04 / 22 – 6 / 1	
Ur.broj: 15 - 1703 - 22 -	

ZAVRŠNI ZADATAK

Student: **Borna Širanović**

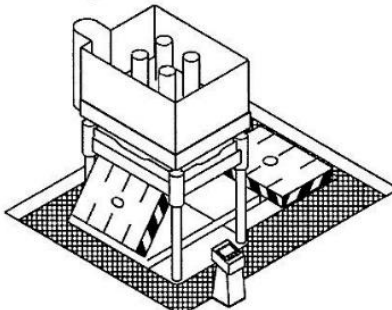
JMBAG: **0035214707**

Naslov rada na hrvatskom jeziku: **Zaštitno gazište oko preše**

Naslov rada na engleskom jeziku: **Protective tread around the press**

Opis zadatka:

Da bi mosni granik imao područje rada preko cijele hale, preša za kontrolu nalijeganja alata za tlačni lijev sidrena je na dubini 1 m od gornjeg ruba pôda hale s ciljem da donji rub kuke granika kad je u gornjem položaju bude 100 mm iznad gornjeg ruba preše. Oko preše ostavljen je nezaštićeni slobodni prostor do 1 m širine što je potencijalna opasnost od pada u dubinu. Kako se radi o alatima različitih dimenzija potrebno je tijekom rada prilagoditi visinu podesta na kojem se nalazi alatničar.



Potrebno je:

- dimenzionirati nepokretni dio gazišta za opterećenje od $q=2 \text{ kN/m}^2$;
- dimenzionirati pokretni dio gazišta za opterećenje od $q=1 \text{ kN/m}^2$ s mehanizmom za visinsko pomicanje;
- konstruirati mehanizam za visinsko pomicanje na dijelu gazišta uz alat prema zahtjevu korisnika pokretanog ručnim alatom - akumulatorskom bušilicom;
- izraditi radioničku dokumentaciju u dogовору с mentorom.

Svi potrebni podaci bit će dostavljeni od mentora.

U radu je potrebno navesti korištenu literaturu i eventualno dobivenu pomoć.

Zadatak zadan:	Datum predaje rada:	Predviđeni datumi obrane:
30. 11. 2021.	1. rok: 24. 2. 2022. 2. rok (izvanredni): 6. 7. 2022. 3. rok: 22. 9. 2022.	1. rok: 28. 2. – 4. 3. 2022. 2. rok (izvanredni): 8. 7. 2022. 3. rok: 26. 9. – 30. 9. 2022.

Zadatak zadao:

Izv. prof. dr. sc. Milan Kostelac

Predsjednik Povjerenstva:

Prof. dr. sc. Vladimir Soldo

SADRŽAJ

SADRŽAJ	I
POPIS SLIKA	II
POPIS TABLICA.....	III
POPIS TEHNIČKE DOKUMENTACIJE	IV
POPIS OZNAKA	V
SAŽETAK.....	VII
SUMMARY	VIII
1. UVOD.....	1
2. POKRETNI DIO GAZIŠTA	3
2.1. Zahtjevi naručitelja	3
2.2. Konceptualna razrada.....	3
2.3. Izrada 3D modela	4
2.4. Proračun čvrstoće	6
2.4.1. Nazivna opterećenja.....	6
2.4.2. Proračun krutosti nosača	7
2.4.3. Proračun i odabir vodilica	9
2.4.4. Proračun zavara nosača.....	11
2.4.5. Proračun izvijanja vretena.....	13
2.4.6. Proračun momenta podizanja/spuštanja.....	15
2.4.7. Proračun krutosti središnjeg nosača	19
2.4.8. Proračun zavara središnjeg nosača.....	21
2.4.9. Proračun rešetkastih ploča	23
3. NEPOKRETNI DIO GAZIŠTA	25
3.1. Zahtjevi naručitelja	25
3.2. Konceptualna razrada.....	25
3.3. Izrada 3D modela	25
3.4. Proračun čvrstoće nepokretnog dijela gazišta	26
3.4.1. Nazivna opterećenja.....	26
3.4.2. Proračun sidrenih vijaka	26
3.4.3. Proračun nosača konstrukcije.....	28
3.4.4. Proračun rešetkastih ploča	30
4. Ljestve.....	33
LITERATURA.....	35
PRILOZI.....	36

POPIS SLIKA

Slika 1.	Prvi poznati prikaz ljestvi.....	1
Slika 2.	Primjer svakodnevne upotrebe transportnih uređaja	2
Slika 3.	Koncept mehanizma podizanja/spuštanja	3
Slika 4.	Konačni koncept.....	4
Slika 5.	Gornji pogled 3D modela pokretnog dijela gazišta.....	5
Slika 6.	Donji pogled 3D modela pokretnog dijela gazišta	5
Slika 7 .	Rešetkasta ploča	6
Slika 8.	Dimenzije sklopa pokretnog dijela konstrukcije	8
Slika 9.	Momenti savijanja vodilica	9
Slika 10.	Kataloške oznake opterećenja vodilica	10
Slika 11.	Opterećenja na poprečnom presjeku zavara	12
Slika 12.	Četiri osnovna modela izvijanja	14
Slika 13.	Središnji nosač.....	19
Slika 14.	Krakovi momenata na središnjem nosaču	20
Slika 15.	Geometrijske karakteristike presjeka središnjeg nosača	20
Slika 16.	Presjek zavara osovine i središnjeg nosača	22
Slika 17.	Koncept nepokretnog dijela gazišta	25
Slika 18.	3D model nepokretnog dijela gazišta	26
Slika 19.	Krakovi udaljenosti nosača nepokretnog dijela konstrukcije.....	27
Slika 20.	GS - Protuklizna površina	32
Slika 21.	Shematski prikaz ljestvi prema normi ISO 14122.....	33
Slika 22.	Cijela konstrukcija zaštitnog gazišta	34

POPIS TABLICA

Tablica 1. Geometrijske karakteristike nosača	8
Tablica 2. Vrijednosti dopuštenog opterećenja vodilice	10
Tablica 3. Geometrijske karakteristike presjeka zavara	12
Tablica 4. Tehničke specifikacije osnovnog modela akumulatorske bušilice.....	17
Tablica 5. Dimenzije elemenata KLASIK rešetke	23
Tablica 6. Dopušteno opterećenje KLASIK rešetke	24
Tablica 7. Geometrijske karakteristike potporne cijevi.....	29
Tablica 8. Dimenzije elemenata STABIL rešetke	30
Tablica 9. Dopušteno opterećenje STABIL rešetke	31

POPIS TEHNIČKE DOKUMENTACIJE

BROJ CRTEŽA	Naziv iz sastavnice
SB-ZR-22-000	Zaštitno gazište
SB-ZR-22-001	Sklop podiznog gazišta 1
SB-ZR-22-02	Navojno vreteno
SB-ZR-22-04	Lijeva pričvsna ploča
SB-ZR-22-05	Kvadratna cijev SHS 60x3,2
SB-ZR-22-12	Sklop središnjeg nosača
SB-ZR-22-15	Desna pričvrsna ploča
SB-ZR-22-20	Nosač RHS 80x80x8
SB-ZR-22-21	Navojna čahura
SB-ZR-22-22	Pločica
SB-ZR-22-23	Osovina
SB-ZR-22-32	Zavareni sklop središnjeg nosača

POPIS OZNAKA

Oznaka	Jedinica	Opis
A_j	mm^2	Površina jezgre presjeka
a	mm	Debljina zavara
d_2, d_3	mm	Promjeri jezgre vretna
E	N/mm^2	Young-ov modul elastičnosti
$F, F_l, F_n, F_{nl}, F_{n2}$	N	Koncentrirano opterećenje
F_v	N	Vertikalna sila
F_{v1}, F_{v2}	N	Sile u vijku
F_p	N	Dopuštena sila podloge
f	mm	Progib
f_{dop}	mm	Dopušteni progib
G	N	Težina
g	m/s^2	Ubrzanje sile teže
I, I_y	mm^4	Aksijalni moment tromosti površine presjeka
i	mm	Polumjer inercije poprečnog presjeka
k	mm	Krak momenta
l	mm	Duljina
l_0	mm	Početna duljina
l_{max}	mm	Maksimalna duljina
M_f, M_l, M_2	Nm	Moment savijanja
M_y, M_{zd}, M_{zs}	Nm	Kataloški moment savijanja
m	kg	Masa
n	s^{-1}	Brzina vrtnje u jedinici vremena
P_h	mm	Uspon navoja
R	-	Razred protukliznosti površine
R_e	N/mm^2	Granica tečenja
S	-	Faktor sigurnosti
$S_{Eul}, S_{potr,Eul}$	-	Eulerov faktor sigurnosti na izvijanje
s_1, s_2, s_3	mm	Hod vretna
T_p	Nm	Moment podizanja navojne čahure
t_1, t_2, t_3	s	Vrijeme podizanja
v_h	m/s	Brzina podizanja
q	N/m^2	Površinsko opterećenje
W, W_l	mm^3	Polarni moment otpora presjeka
α	$^\circ$	Kut uspona navoja
β	$^\circ$	Kut boka navoja
λ	-	Vitkost
λ_p	-	Vitkost na granici proporcionalnosti

μ	-	Faktor trenja
ρ'	\circ	Korigirani kut trenja
σ	N/mm^2	Normalno naprezanje
σ_f, σ_1	N/mm^2	Savojno naprezanje
$\sigma_{red,HMH}$	N/mm^2	Reducirano naprezanje prema HMH teoriji
$\sigma_{zav,dop}$	N/mm^2	Dopušteno naprezanje zavara
τ_1, τ_s	N/mm^2	Smično naprezanje
τ_t	N/mm^2	Uvijanje

SAŽETAK

U radu je obuhvaćena konstrukcijska razrada i proračun zaštitnog gazišta oko, u tlo spuštenog, industrijskog objekta. Gazište je podijeljeno na pomični i nepomični dio. Pomični dio gazišta sastoji se od vertikalno pomičnih stepenica pogonjenih ručnim alatom. Mehanizam podizanja osmišljen je pomoću navojnog vretna i vodilica te je pogonjen akumulatorskom bušilicom. Nepomični dio gazišta usidren je za betonsku konstrukciju i služi kao zaštita radnika od pada u jamu objekta.

Ključne riječi: Zaštitno gazište, mehanizam podizanja, akumulatorska bušilica

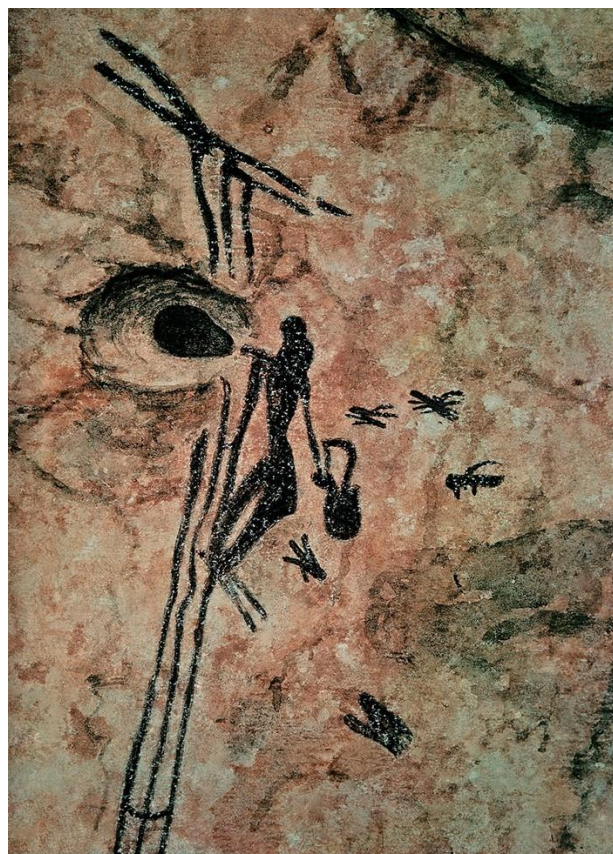
SUMMARY

This research paper shows the design and calculation process for a protective walkway. The protective walkway is situated around an industrial site deep in the ground. The walkway consists of movable and stationary part. A power drill is being used as a source of power for a lifting mechanism in a movable part of the walkway. The stationary part of the walkway is anchored to the concrete walls of the industrial site and serves as a protection from falling into an unprotected pit.

Key words: Protective walkway, lifting mechanism, power drill

1. UVOD

Potreba za svladavanjem visinskih prepreka navela je čovjeka da još prije 10 000 g. Pr. Kr. izumi pomagalo koje danas nazivamo ljestvama. Najstariji poznati prikaz ljestvi nalazi se na zidnom crtežu u jednoj od špilja Coves de l'Aranya u Španjolskoj. Crtež, Slika 1, prikazuje sakupljača meda koji pomoću dugih elastičnih ljestvi uzima med iz pčelinje košnice.

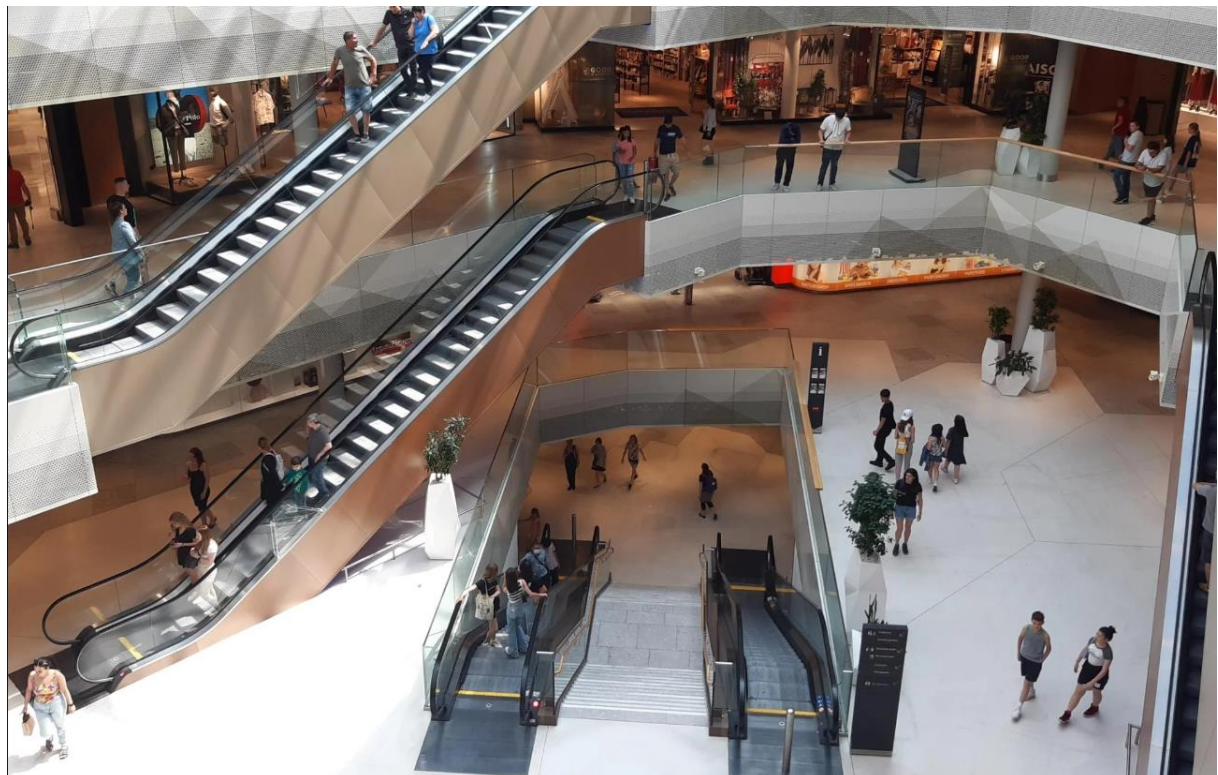


Slika 1. Prvi poznati prikaz ljestvi

Važnost ovog izuma vidljiva je svuda oko nas. Ljestve su postale neizostavni dio svakog industrijskog postrojenja i gotovo svakog kućanstva. Konstrukcija ljestvi uvelike ovisi o njenoj namjeni, no konceptualno sve ljestve sadrže iste komponente: oslonac za udove te pripadajuću potpornu strukturu. Navedene komponente mogu biti izvedene od krutih i ili elastičnih materijala. Ponekad je visinsku razliku potrebno savladati bez upotrebe ruku, što čovjeka dovodi u nestabilnu poziciju i pokazuje sigurnosni nedostatak osnovnog modela ljestvi. Iz tog razloga osmišljene su razne vrste stubišta i transportnih uređaja. Danas je rukovanje teretom većih težina gotovo nezamislivo bez upotrebe dizala i drugih vrsta transportnih uređaja. Važno

je napomenuti da korištenje osnovnog modela ljestvi iziskuje rad čovjeka dok kod transportnih uređaja taj rad vrši neka vrsta pogonskog agregata. Također, transportni uređaji nisu limitirani snagom ljudskih mišića te nam omogućuju pomicanje tereta znatno većih težina i dimenzija. Dizala i pokretne stepenice predstavljaju sigurniji i lakši način svladavanja visinskih razlika što potvrđuje njihova široka rasprostranjenost, ne samo u industriji već i u svakodnevnom životu,

Slika 2.



Slika 2. Primjer svakodnevne upotrebe transportnih uređaja

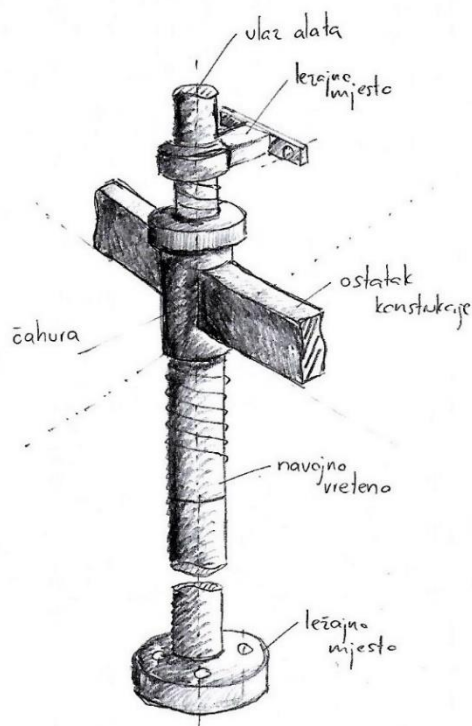
2. POKRETNI DIO GAZIŠTA

2.1. Zahtjevi naručitelja

Prema zahtjevu naručitelja, kao pogonski agregat mehanizma za podizanje/spuštanje, koristiti će se akumulatorska bušilica. Predviđeno opterećenje pokretnog dijela gazišta iznosi $q = 1000 \text{ kN/m}^2$. Zbog ograničenog manevarskog prostora, dodatna želja naručitelja je laka montaža i demontaža konstrukcije.

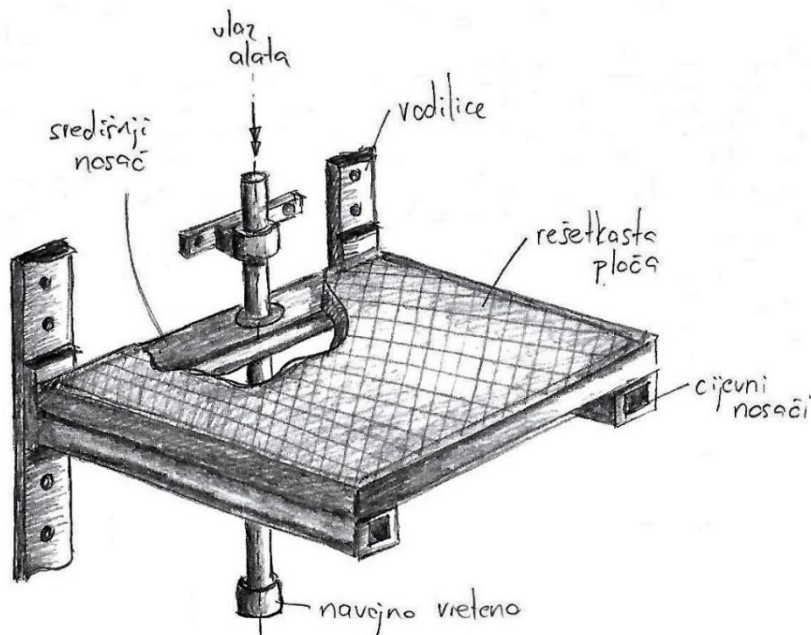
2.2. Konceptualna razrada

Budući da je cilj dobiti translaciju odnosno vertikalni pomak gazišta, a pogonski agregat vrši rotacijsko gibanje, potrebno je osmisliti mehanizam pretvorbe jednog gibanja u drugi. Zbog jednostavnosti izvedbe odabранo je navojno vreteno i navojna čahura. U ovom slučaju vreteno je uležišteno u dva oslonca, te mu je omogućena isključivo rotacija. Navojna čahura spojena je s ostatkom pomičnog dijela konstrukcije i giba se translatorno. Koncept mehanizma prikazan je na Slici 3.



Slika 3. Koncept mehanizma podizanja/spuštanja

Zbog velikog zareznog djelovanja nije preporučeno navojne elemente, u ovom slučaju navojno vreteno, opteretiti na savijanje. Stoga je još potrebno osmisliti mehanizam koji bi na sebe preuzeo moment savijanja te u isto vrijeme omogućio translatorno gibanje. Ovaj zahtjev riješen je pomoću linearnih vodilica i kvadratnih cijevi. Konačni koncept prikazan je na Slici 4.



Slika 4. Konačni koncept

2.3. Izrada 3D modela

Model je izrađen pomoću programskog paketa SolidWorks. Na Slici 5. i Slici 6. prikazan je 3D model pomičnog dijela gazišta. Princip rada ostao je isti kao i kod koncepta. Radnik, pomoću akumulatorske bušilice, pogoni navojno vreteno. Vreteno je uležišteno u dva ležajna mesta. Gornje ležajno mjesto je slobodno, odnosno omogućen je mali vertikalni pomak u slučaju toplinske dilatacije. Donje ležajno mjesto izvedeno je kao čvrsto, a sastoji se od vlastitog kućišta

i aksijalno krutog ležaja. Okretanjem vretena, navojna čahura translatira u vertikalnom smjeru. Čahura je kruto povezana sa središnjim nosačem.

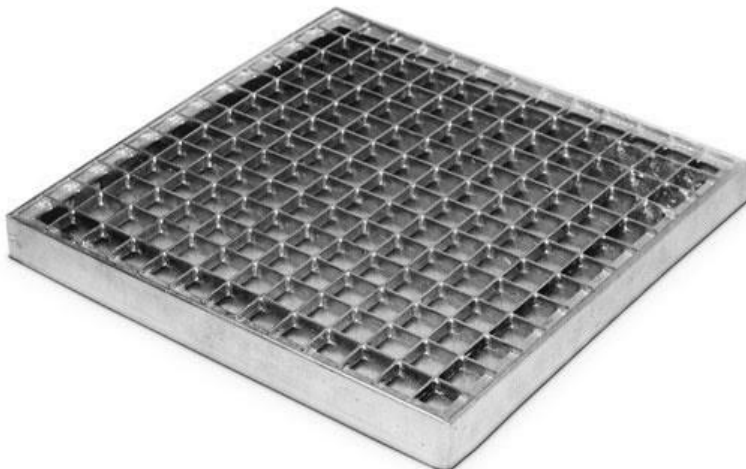


Slika 5. Gornji pogled 3D modela pokretnog dijela gazišta



Slika 6. Donji pogled 3D modela pokretnog dijela gazišta

Kako bi se izbjeglo savojno opterećenje vretena, središnji nosač slobodno rotira oko svoje uzdužne osi. Na taj način, cijeli moment savijanja preuzimaju kvadratne cijevi, kruto spojene s vodilicama. Vreteno je tada opterećeno isključivo na tlak. Vodilice se postavljaju direktno na stranice zida i učvršćene su sidrenim vijcima. Broj i raspored sidrenih vijaka dan je u katalogu proizvođača i biti će navedeni u kasnijem dijelu proračuna. Kvadratne cijevi služe kao glavni nosači. Krutost konstrukcije postiže se upotrebom zavara i vijčanih spojeva. Rešetkaste ploče, koje služe kao gazna podloga, preuzete su od proizvođača BENKOtehna [2]. Primjer rešetkaste ploče prikazan je na Slici 7. Rešetke su od pomicanja osigurane pričvrsnim kopčama te vijcima spojene za kvadratne cijevi.



Slika 7 . Rešetkasta ploča

2.4. Proračun čvrstoće

2.4.1. Nazivna opterećenja

Zadano opterećenje pokretnog dijela konstrukcije iznosi $q = 1000 \text{ kN/m}^2$. Standardna dimenzija rešetkaste ploče uzeta iz kataloga [2] je $800 \times 800 \text{ mm}$. Ukupna površina jedne ploče tada iznosi $A = 0,64 \text{ m}^2$. Iznos koncentriranog opterećenja dobiva se iz jednadžbe (1):

$$F_1 = q \cdot A = 1000 \cdot 0,64 = 640 \text{ N} \quad (1)$$

Budući da je sigurnost radnika na prvom mjestu, proračunom dobivena sila biti će uvećana za faktor sigurnosti od $S = 1,5$. U tom slučaju vrijednost koncentriranog opterećenja, koja će se koristiti u danjem proračunu, iznosi:

$$F_2 = 1000 \text{ N} \quad (2)$$

2.4.2. Proračun krutosti nosača

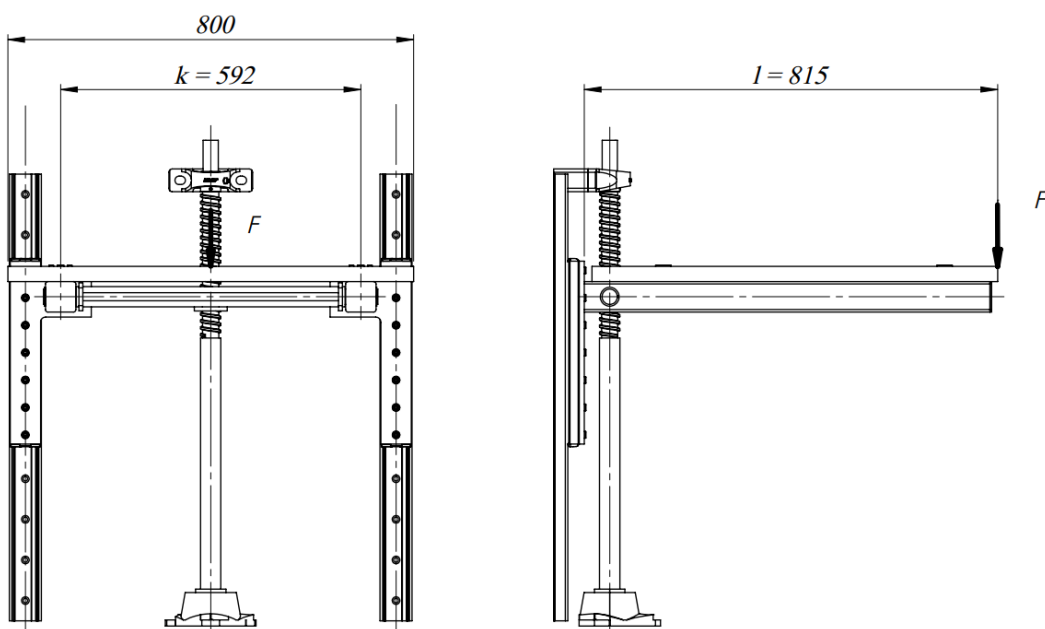
Na Slici 8. dane su konačne dimenzije sklopa pokretnog dijela konstrukcije. Na slici je također označena najnepovoljnija pozicija djelovanja koncentriranog opterećenja. Kako bi proračun krutosti cijevnih nosača bio točan, potrebno je još uzeti u obzir težinu rešetkaste ploče, pripadajućih pričvrsnih elemenata i težinu samih nosača. Masa navedenih elemenata iznosi $m_{uk} = 15 \text{ kg}$. Ukupna sila je tada:

$$F_{uk} = F_2 + (m_{uk} \cdot g) \quad (3)$$

$$F_{uk} = 1000 + (15 \cdot 9,81) \quad (4)$$

Nakon uvrštavanja vrijednosti, ukupna sila iznosi:

$$F_{uk} = F = 1150 \text{ N} \quad (5)$$



Slika 8. Dimenziije sklopa pokretnog dijela konstrukcije

Jednadžba progiba nosača uklještenog na jednom kraju prema [3], dana je izrazom:

$$f = \frac{F}{EI} \cdot \frac{l^3}{3} \quad (6)$$

Young-ov modul elastičnosti E za čelik iznosi $E = 210$ MPa. Proračunska duljina l vidljiva iz prethodne slike iznosi $l = 815$ mm. Iznos sile F u izrazu (6) predstavlja polovinu ukupne sile F_{uk} zbog pretpostavke da svaki od nosača preuzima jednakopterećenje. Za nosač, odabran je profil SHS 60 x 3,2. Aksijalni moment tromosti presjeka I zajedno s ostalim geometrijskim karakteristikama preuzet je iz [4] i prikazan u Tablici 1.

Tablica 1. Geometrijske karakteristike nosača

SHS 60x3.2	
Geometry	Section properties
$a = 60$ mm	$I_y = I_z = 3.82E+5$ mm 4
$t = 3.2$ mm	$W_{y,el} = W_{z,el} = 1.27E+4$ mm 3
$r = 4.8$ mm	$W_{y,pl} = W_{z,pl} = 1.52E+4$ mm 3
$A = 716$ mm 2	$i_y = i_z = 23.1$ mm
$A_L = 0.232$ m $^2 \cdot$ m $^{-1}$	$S_y = S_z = 7600$ mm 3
$G = 5.62$ kg.m $^{-1}$	$I_t = 6.02E+5$ mm 4
	$C_t = 1.86E+4$ mm 3

Budući da se radi o simetričnom poprečnom presjeku, momenti tromosti presjeka poprečnih osi jednakih su iznosa. Iznos progiba nakon uvrštavanja poznatih vrijednosti u jednadžbu (6):

$$f = \frac{1150}{2 \cdot 2,1 \cdot 10^5 \cdot 3,82 \cdot 10^5} \cdot \frac{815^3}{3} \quad (7)$$

$$f = 1,29 \text{ mm} \quad (8)$$

Dopušteni progib, prema [5] iznosi:

$$f_{dop} = \frac{l}{600} = \frac{815}{600} = 1,35 \text{ mm} \quad (9)$$

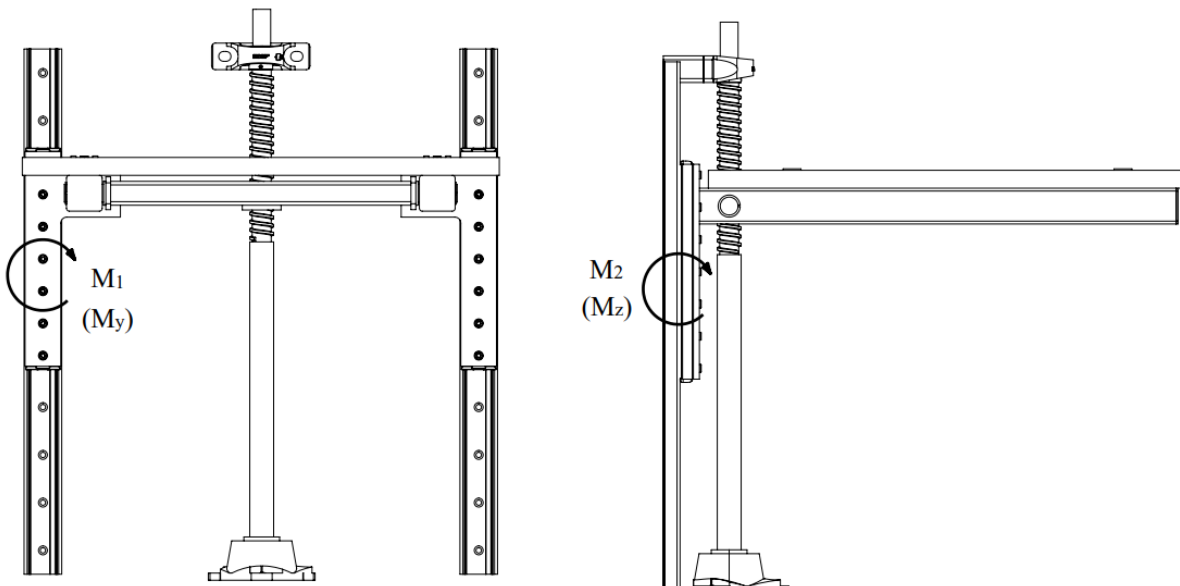
Iz prethodnog, vidi se da cijevni nosači zadovoljavaju uvjet krutosti, tj:

$$f_{dop} \geq f \quad (10)$$

$$1,35 \text{ mm} \geq 1,29 \text{ mm} \quad (11)$$

2.4.3. Proračun i odabir vodilica

Vodilice su opterećene silom danom u jednadžbi (5). I u ovom slučaju, pretpostavka je da je svaka od vodilica ravnomjerno opterećena. Na Slici 9. prikazani su momenti savijanja vodilica. U zagradama su označeni kataloški nazivi opterećenja, prikazani na Slici 10.



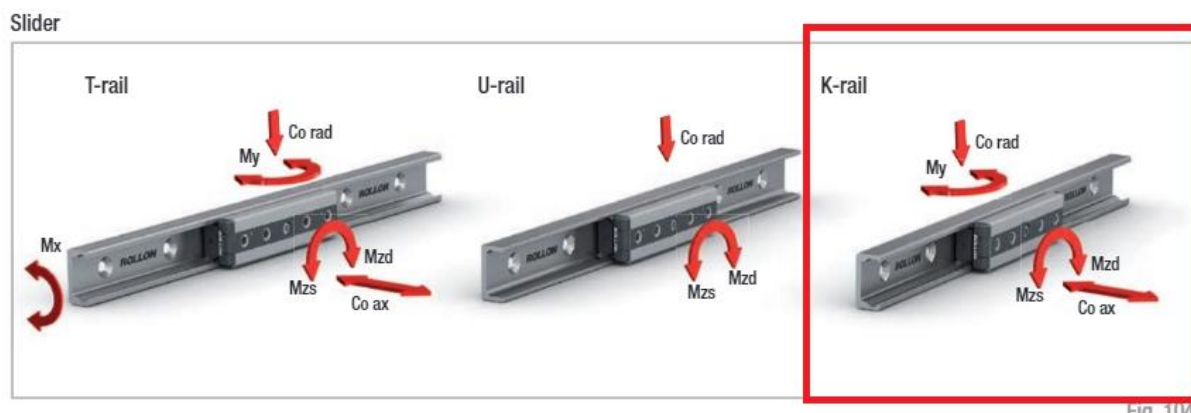
Slika 9. Momenti savijanja vodilica

Krakovi momenata označeni su simbolima l i k . Kod slučaja s dvije vodilice, momenti savijanja za pojedinu vodilicu iznose:

$$M_1 = \frac{F}{2} \cdot l = \frac{1150}{2} \cdot 815 = 469 \text{ Nm} \quad (12)$$

$$M_2 = \frac{F}{2} \cdot \frac{k}{2} = \frac{1150}{2} \cdot \frac{592}{2} = 171 \text{ Nm} \quad (13)$$

Za proizvođača vodilica uzeta je tvrtka Rollon. U njihovom katalogu [6], moguće je pronaći sve potrebne informacije o proračunu vodilica kao i dimenzije istih. Kataloške oznake opterećenja prikazane su na Slici 10.



Slika 10. Kataloške oznake opterećenja vodilica

Ranije izračunati moment savijanja M_1 podudara se s kataloškom oznakom opterećenja M_y . Slično vrijedi i za moment savijanja M_2 koji korespondira kataloškoj oznaci M_{zd} odnosno M_{zs} . Na temelju dopuštenih vrijednosti opterećenja, izabrana je vodilica NSW63-6A-2ZR. Iz Tablice 2. moguće je očitati dopuštene vrijednosti opterećenja.

Tablica 2. Vrijednosti dopuštenog opterećenja vodilice

Type	Number of rollers	Load capacities and moments						Weight [kg]	
		C [N]	C _{Grad} [N]	C _{0ax} [N]	M _x [Nm]	M _y [Nm]	M _z [Nm]		
						M _{zd}	M _{zs}		
NSW63-3-2ZR	3	30750	12500	6000	125	271	367	367	2.44
NSW63-4A-2ZR	4	30750	12500	7200	250	413	367	1100	3.17
NSW63-4B-2ZR	4	30750	12500	7200	250	413	1100	367	3.17
NSW63-5-2ZR	5	36600	15000	8500	250	511	1100	1100	3.89
NSW63-6A-2ZR	6	36600	15000	10000	350	689	1100	1830	4.60
NSW63-6B-2ZR	6	36600	15000	10000	350	689	1830	1100	4.60
NSA63-3-2ZR	3	30750	11550	5045	0	235	335	335	2.44
NSA63-4A-2ZR	4	30750	11550	5045	0	294	335	935	3.17
NSA63-4B-2ZR	4	30750	11550	5045	0	294	935	335	3.17
NSA63-5-2ZR	5	36600	13745	6000	0	589	935	935	3.89
NSA63-6A-2ZR	6	36600	13745	6000	0	589	935	1560	4.60
NSA63-6B-2ZR	6	36600	13745	6000	0	589	1560	935	4.60

Tab. 37

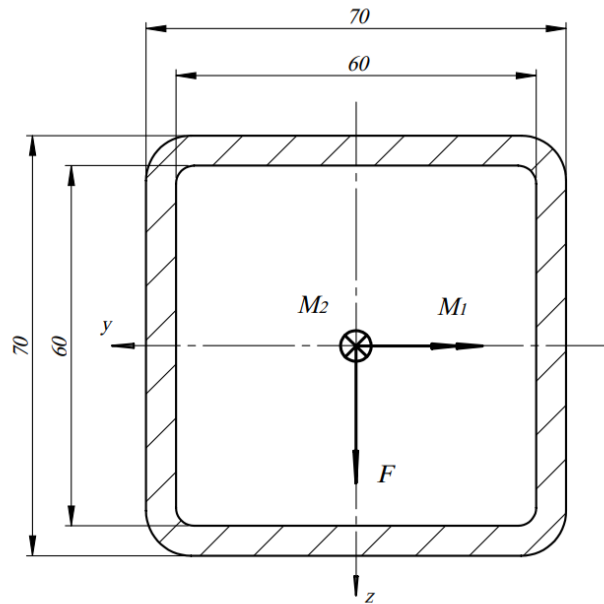
Budući da su dolje navedeni uvjeti ispunjeni, vodilice zadovoljavaju proračun nosivosti.

$$M_1 = 469 \text{ Nm} \leq M_y = 689 \text{ Nm} \quad (14)$$

$$M_2 = 171 \text{ Nm} \leq M_{zs} = 1100 \text{ Nm} \quad (15)$$

2.4.4. Proračun zavara nosača

Prema Slici 8. zavar vodilice i cijevnih nosača opterećen je na savijanje, smik i torziju. Moment M_1 uzrokuje savijanje oko poprečne osi y , moment M_2 uzrokuje uvijanje oko uzdužne osi x te smično naprezanje uzrokuje djelovanje sile F . Opterećenja zavara na poprečnom presjeku prikazana su na Slici 11.



Slika 11. Opterećenja na poprečnom presjeku zavara

Budući da su poprečne dimenzije zavara gotovo jednake onima kod kvadratne cijevi SHS 70 x 5, s dovoljnom preciznosti iz Tablice 3. biti će preuzete sve potrebne geometrijske karakteristike poprečnog presjeka.

Tablica 3. Aproksimacija geometrijskih karakteristika presjeka zavara

SHS 70x5	
Geometry	Section properties
$a = 70 \text{ mm}$	$I_y = I_z = 8.85E+5 \text{ mm}^4$
$t = 5 \text{ mm}$	$W_{y,\text{el}} = W_{z,\text{el}} = 2.53E+4 \text{ mm}^3$
$r = 7.5 \text{ mm}$	$W_{y,\text{pl}} = W_{z,\text{pl}} = 3.08E+4 \text{ mm}^3$
$A = 1270 \text{ mm}^2$	$i_y = i_z = 26.4 \text{ mm}$
$A_L = 0.267 \text{ m}^2 \cdot \text{m}^{-1}$	$S_y = S_z = 1.54E+4 \text{ mm}^3$
$G = 9.99 \text{ kg} \cdot \text{m}^{-1}$	$I_t = 1.42E+6 \text{ mm}^4$
	$C_t = 3.68E+4 \text{ mm}^3$

Savijanje:

$$\sigma_f = \frac{M_y}{W_y} = \frac{469 \cdot 10^3}{2,53 \cdot 10^4} = 19 \text{ Nmm}^{-2} \quad (16)$$

Uvijanje:

$$\tau_t = \frac{M_x}{S_y} = \frac{171 \cdot 10^3}{1,54 \cdot 10^4} = 12 \text{ Nmm}^{-2} \quad (17)$$

Smik:

$$\tau_s = \frac{F}{2A} = \frac{1150}{2 \cdot 1270} = 0,5 \text{ Nmm}^{-2} \quad (18)$$

Reducirano naprezanje prema HMH teoriji:

$$\sigma_{red,HMH} = \sqrt{(\sigma_f)^2 + 3 \cdot (\tau_t + \tau_s)^2} \quad (19)$$

$$\sigma_{red,HMH} = \sqrt{(19)^2 + 3 \cdot (12 + 0,5)^2} = 29 \text{ Nmm}^{-2} \quad (20)$$

Dopušteno naprezanje zavara za materijal S235 JR, prema [7] iznosi:

$$\sigma_{zav,dop} = 160 \text{ Nmm}^{-2} \quad (21)$$

Kutni zavar, debljine $a = 5 \text{ mm}$, zadovoljava kriterij nosivosti:

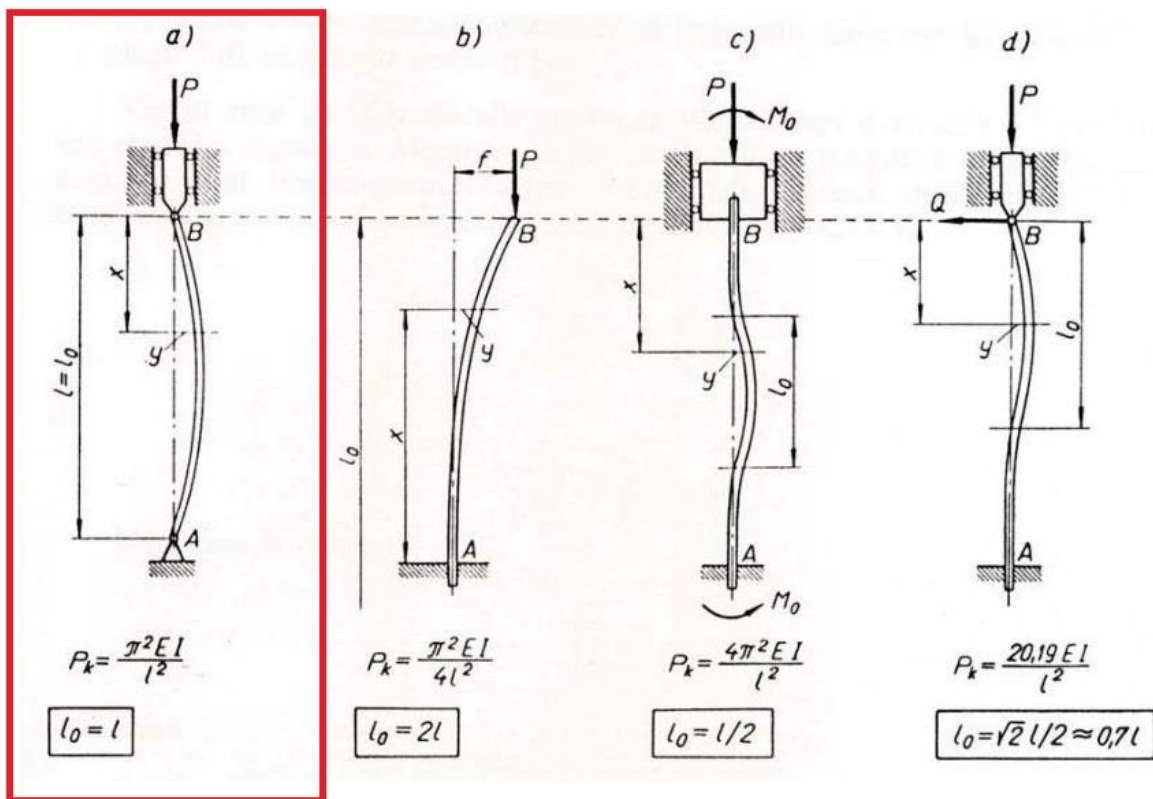
$$\sigma_{zav,dop} \geq \sigma_{red,HMH} \quad (22)$$

$$160 \text{ Nmm}^{-2} \geq 29 \text{ Nmm}^{-2} \quad (23)$$

2.4.5. Proračun izvijanja vretena

Za vreteno, zbog dobre nosivosti i moguće samokočne karakteristike, odabran je trapezni navoj prvog reda Tr 30 x 3. Budući da je vreteno opterećeno isključivo na tlak, potrebno je napraviti kontrolu sigurnosti na izvijanje. Četiri osnovna modela izvijanja prikazana su

Slikom 12. Model koji odgovara uležištenju vretena kod pokretnog dijela gazišta i njegova pripadna maksimalna duljina l_{max} prikazani su pod slučajem a).



Slika 12. Četiri osnovna modela izvijanja

Vitkost vretena prema [8], računa se prema jednadžbi:

$$\lambda = \frac{l_{max}}{i} \quad (24)$$

Gdje l_{max} prema modelu izvijanja a) predstavlja stvarnu duljinu vretena, a i polumjer inercije površine poprečnog presjeka štapa. Za kružni poprečni presjek štapa izraz za i dan je kao:

$$i = \sqrt{\frac{I_y}{A}} = \sqrt{\frac{\frac{d_3^4 \cdot \pi}{64}}{\frac{d_3^2 \cdot \pi}{4}}} = \frac{d_3}{4} = \frac{28,5}{4} = 7,125 \quad (25)$$

Duljina vretena iznosi: $l = 950$ mm, a promjer jezgre vretena d_3 , prema [3]: $d_3 = 28,5$ mm. Nakon uvrštavanja vrijednosti, proračunska vitkost vretenaispada:

$$\lambda = \frac{950}{7,125} = 133 \quad (26)$$

Vitkost štapa koja odgovara kritičnom naprezanju jednakom granici proporcionalnosti λ_p za vretena iz čelika E295 i E355 prema [8] iznosi:

$$\lambda_p = 89 \quad (27)$$

Kako je omjer vitkosti $\lambda \geq \lambda_p$, radi se o vitkom vretenu te je u tom slučaju potrebna kontrola na izvijanje dana jednadžbom:

$$S_{Eul} = \frac{\sigma_{krit}}{\sigma} = \frac{E \cdot \pi^2}{\lambda^2 \cdot \sigma} \quad (28)$$

U ovom slučaju σ predstavlja tlačno opterećenje presjeka vretena, koje se računa prema izrazu:

$$\sigma = \frac{F}{d_3} = \frac{1150}{28,5} = 41 \text{ Nmm}^{-2} \quad (29)$$

Da bi vreteno zadovoljilo kontrolu na izvijanje, prema [8], preporuča se faktor sigurnosti u području od $S_{potr.Eul} = 2,6 \dots 6$. Uvrštavanjem vrijednosti u jednadžbu (28), dobivena vrijednost iznosi:

$$S_{Eul} = \frac{2,1 \cdot 10^5 \cdot \pi^2}{126^2 \cdot 41} = 3,1 \quad (30)$$

Vreteno zadovoljava kontrolu na izvijanje.

2.4.6. Proračun momenta podizanja/spuštanja

Okretanjem vretena, navojna čahura giba se translatorno u vertikalnom smjeru. Pritom svladava trenje na bokovima navoja. Budući da je opterećenje konstrukcije usmjereni vertikalno prema dolje, podizanje navojne čahure zahtjeva okretni moment veći od onog tijekom njezina spuštanja. Proračun je zato dovoljno provesti samo za situaciju podizanja konstrukcije. Jednadžba potrebnog okretnog momenta za podizanje navojne čahure, prema [8] glasi:

$$T_p = F_V \cdot \frac{d_2}{2} \cdot \tan (\alpha + \rho') \quad (31)$$

Sila F_V jednaka je ranije izračunatoj sili F . Srednji promjer presjeka navoja d_2 , za vreteno Tr 30 x 3, iznosi $d_2 = 30,5$ mm. Kut uspona navoja na srednjem promjeru α i koriginarni kut trenja za trapezni navoj ρ' računaju se prema dolje navedenim izrazima:

$$\alpha = \tan^{-1} \left(\frac{P_h}{d_2 \cdot \pi} \right) \quad (32)$$

$$\rho' = \tan^{-1} \left(\frac{\mu}{\cos \beta} \right) \quad (33)$$

U kojima; P_h označava uspon navoja, koji za odabran vreteno iznosi $P_h = 3$ mm. μ predstavlja faktor trenja navoja. Okvirno uzeta vrijednost prema [1] iznosi $\mu = 0.5$. Kut boka navoja β , za trapezni navoj definiran je kao $\beta = 15^\circ$. Uvrštavanjem ovih vrijednosti u gore navedene jednadžbe dobivene su vrijednosti:

$$\alpha = \tan^{-1} \left(\frac{3}{30,5 \cdot \pi} \right) \quad (34)$$

$$\alpha = 1,79^\circ \quad (35)$$

Korigirani kut:

$$\rho' = 27,36^\circ \quad (37)$$

Kako bi se izbjeglo spuštanje konstrukcije pod utjecajem vlastite težine, potrebno je da kombinacija navojnog vretena i navojne čahure zadovoljava uvjet samokočnosti zadan izrazom:

$$\alpha \leq \rho' \quad (38)$$

$$1,79^\circ \leq 27,36^\circ \quad (39)$$

Iz priloženog, vidi se da je taj uvjet zadovoljen. Uvrštavanjem vrijednosti α i ρ' u jednadžbu (31), potrebni okretni moment za podizanje konstrukcije iznosi:

$$T_p = 1150 \cdot \frac{30,5}{2} \cdot \tan (1,79 + 27,36) \quad (40)$$

$$T_p = 9,8 \text{ Nm} \quad (41)$$

Zadani pogonski agregat, akumulatorska bušilica, i kod najslabijih modela postiže okretni moment od 14 Nm. Budući da se konstrukcija koristi u industrijskom okruženju gdje se u pravilu koriste profesionalni modeli aku-bušilica, koji postižu okretne momente čak do 150 Nm, zaključak je da se konstrukcija bez ikakvih problema može podići s gotovo svakim modelom aku-bušilice. Primjer i tehničke specifikacije osnovnog modela aku-bušilice prikazane su Tablicom 4.

Tablica 4. Tehničke specifikacije osnovnog modela akumulatorske bušilice

Napon akumulatora	10,8 V
Kapacitet akumulatora	1,3 Ah
Vrsta akumulatora	Li-ion
Br. okr. u slob. hodu 1. br.	0 - 350 min ⁻¹
Br. okr. u slob. hodu 2. br.	0 - 1.300 min ⁻¹
Kapacitet stezne glave	0,6 - 10 mm
Maks. pro. bušenja (čelik Ø)	10 mm
Maks. pro. bušenja (drvo Ø)	21 mm
Postavke momenta	18 + D
Postavka momenta snojke	0,5 - 3,5 Nm
Maks. okretni moment (tvrdо)	24 Nm
Maks. okretni moment (mekо)	14 Nm
Broj mehaničkih brzina	2
Buka: zvučni tlak	70 dB(A)
Buka: odstupanje (K)	3 dB(A)
Vibracije: bušenje metala	2,5 m/s ²
Vibracije: odstupanje (K)	1,5 m/s ²
Dimenzije (D x Š x V)	189 x 53 x 183 mm
Masa (prema EPTA)	1 kg

Brzina podizanja/spuštanja konstrukcije definirana je brzinom vrtnje u jedinici vremena i usponom navojnog vretena. Za vrijednost brzine vrtnje aku-bušilice uzeta je vrijednost u modu najvećeg okretnog momenta. Iz primjera osnovnog modela aku-bušilice, biti će uzeta vrijednost od $n = 350 \text{ min}^{-1}$. Brzina podizanja v_h za tako definirane parametre iznosi:

$$v_h = P \cdot n = 3 \cdot 350 = 17,5 \frac{\text{mm}}{\text{s}} \quad (42)$$

Vrijeme potrebno za podizanje/spuštanje dobiva se iz brzine podizanja/spuštanja v_h i hoda svake pojedine stepenice s_n . Vremena iznose:

Prva stepenica:

$$t_1 = \frac{s_1}{v_h} = \frac{235}{17,5} \approx 14 \text{ s} \quad (43)$$

Druga stepenica:

$$t_2 = \frac{s_2}{v_h} = \frac{437}{17,5} \approx 25 \text{ s} \quad (44)$$

Treća stepenica:

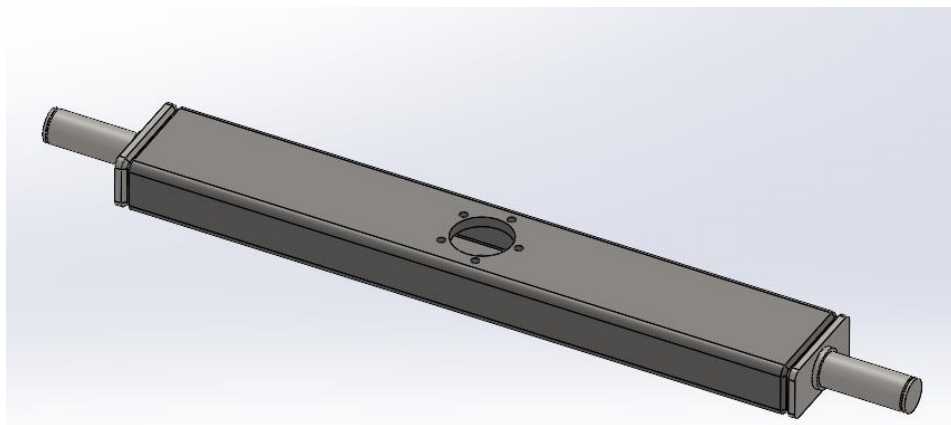
$$t_3 = \frac{s_3}{v_h} = \frac{630}{17,5} \approx 36 \text{ s} \quad (45)$$

Ukupno vrijeme spuštanja iznosi:

$$t_{uk} = 75 \text{ s} \quad (46)$$

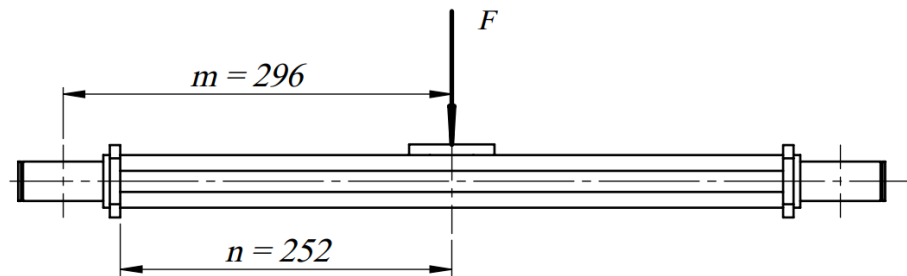
2.4.7. Proračun krutosti središnjeg nosača

Središnji nosač, prikazan na Slici 13., slobodno rotira oko svoje uzdužne osi. Na taj način, cjelokupni moment savijanja prenosi se isključivo na vodilice. Uzdužna rotacija središnjeg nosača omogućena je osovinama koje su sa svake strane zavarene na nosač.



Slika 13. Središnji nosač

Budući da se čahura nalazi u središnjem provrtu nosača, poprečni presjek je oslabljen i potrebno je izvršiti kontrolu krutosti. Krakovi momenata savijanja m i n prikazani su na Slici 14. Pretpostavka je da u središtu nosača djeluje ranije izračunata sila F .

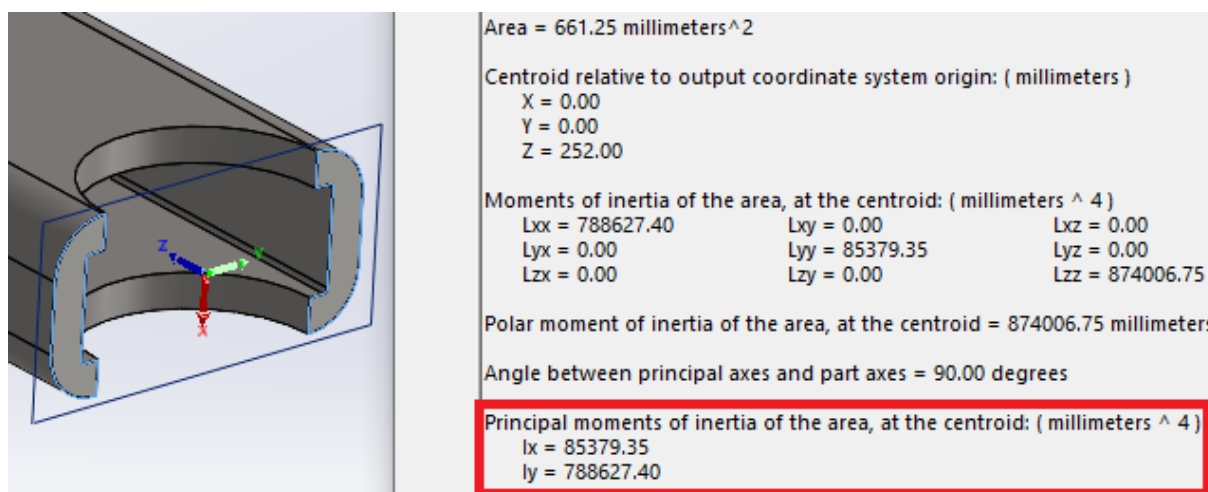


Slika 14. Krakovi momenata na središnjem nosaču

Moment savijanja presjeka je tada:

$$M_f = \frac{F}{2} \cdot m = \frac{1150}{2} \cdot 296 = 171 \text{ Nm} \quad (47)$$

Geometrijske karakteristike presjeka središnjeg nosača, izračunate su putem programa SolidWorks i prikazane na Slici 15.



Slika 15. Geometrijske karakteristike presjeka središnjeg nosača

Izraz za progib nosača uklještenog na jednom i opterećenog koncentriranom silom na drugom kraju, zadan je izrazom (6). Nakon uvrštavanja vrijednosti:

$$f = \frac{F}{EI} \cdot \frac{l^3}{3} \quad (48)$$

$$f = \frac{1150}{2 \cdot 2,1 \cdot 10^5 \cdot 788627} \cdot \frac{296^3}{3} = 0,03 \text{ mm} \quad (49)$$

Dopušteni progib:

$$f_{dop} = \frac{l}{1000} = \frac{296}{1000} = 0,29 \text{ mm} \quad (50)$$

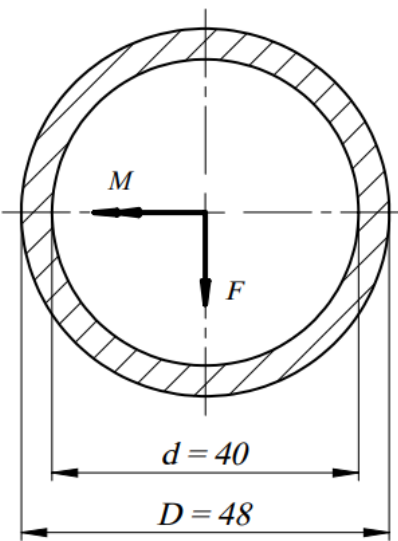
Vrijedi:

$$f_{dop} \geq f \quad (51)$$

$$0,29 \text{ mm} \geq 0,03 \text{ mm} \quad (52)$$

2.4.8. Proračun zavara središnjeg nosača

Na Slici 16. prikazan je poprečni presjek zavara osovina i središnjeg nosača.



Slika 16. Presjek zavara osovine i središnjeg nosača

Moment otpora presjeka kružnog vijenca W_1 i pripadajuća naprezanja računaju se prema izrazima:

Moment otpora presjeka:

$$W_1 = \frac{\pi}{32} \cdot \frac{D^4 - d^4}{D} = 5621 \text{ mm}^3 \quad (53)$$

Savijanje:

$$\sigma_1 = \frac{M_f}{W_1} = \frac{171 \cdot 10^3}{5621} = 31 \text{ Nmm}^{-2} \quad (54)$$

Smik:

$$\tau_1 = \frac{F}{A} = \frac{1150}{552} = 2,1 \text{ Nmm}^{-2} \quad (55)$$

Reducirano naprezanje prema HMH teoriji:

$$\sigma_{red,HMH} = \sqrt{(31)^2 + 3 \cdot (2,1)^2} = 31,3 \text{ Nmm}^{-2} \quad (56)$$

Budući da vrijedi dolje navedena nejednakost, zavar zadovoljava uvjet čvrstoće:

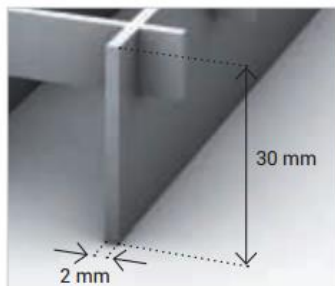
$$\sigma_{zav,dop} \geq \sigma_{red,HMH} \quad (57)$$

$$160 \text{ Nmm}^{-2} \geq 31,3 \text{ Nmm}^{-2} \quad (58)$$

2.4.9. Proračun rešetkastih ploča

Kao što je i ranije navedeno, za proizvođača rešetkastih ploči odabrana je tvrtka BENKOtehna. Iako vanjske dimenzije rešetkastih ploča za pokretni dio gazišta odstupaju od kataloški standardnih dimenzija, proizvođač nudi izradu istih prema narudžbi. Potrebne dimenzije iznose 800 x 800 x 30 mm. Proizvođač također nudi i uslugu rezanja te obrubljivanja izrezanih dijelova. Prema katalogu [2] odabrana je vrsta rešetke „KLASIK“. Dimenzije elemenata „KLASIK“ rešetke prikazane su Tablicom 5.

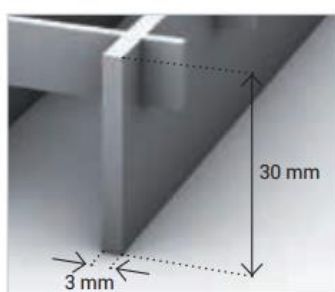
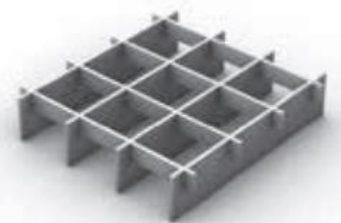
Tablica 5. Dimenzije elemenata KLASIK rešetke



KLASIK

Nosilni trak: 30/2 mm
Prečni trak: 10/2 mm

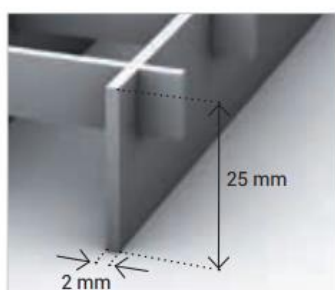
Okence	Teža rešetke
L 33 x 33 mm	20 kg/m ²
S 33 x 11 mm	26 kg/m ²
M 22 x 22 mm	30 kg/m ²



STABIL

Nosilni trak: 30/3 mm
Prečni trak: 10/2 mm

Okence	Teža rešetke
L 33 x 33 mm	28 kg/m ²
S 33 x 11 mm	35 kg/m ²
M 22 x 22 mm	42 kg/m ²



DOM

Nosilni trak: 25/2 mm
Prečni trak: 10/2 mm

Okence	Teža rešetke
L 33 x 33 mm	18 kg/m ²
S 33 x 11 mm	23 kg/m ²
M 22 x 22 mm	25 kg/m ²

Okence L

33 x 33 mm

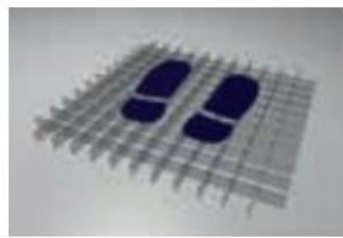
Okence	Nosilni trak	Teža
33 x 33	20 x 2	15 kg/m ²
33 x 33	25 x 2	18 kg/m ²
33 x 33	30 x 2	20 kg/m ²
33 x 33	35 x 2	23 kg/m ²
33 x 33	40 x 2	26 kg/m ²
33 x 33	50 x 2	31 kg/m ²
33 x 33	20 x 3	20 kg/m ²
33 x 33	25 x 3	24 kg/m ²
33 x 33	30 x 3	28 kg/m ²
33 x 33	35 x 3	32 kg/m ²
33 x 33	40 x 3	36 kg/m ²
33 x 33	50 x 3	45 kg/m ²

Proračun nosivosti rešetke prema [2] ovisi o: tipu rešetke, udaljenosti potpornih točki i iznosu koncentriranog opterećenja. Opterećenje F ranije je izračunato i iznosi $F = 1,15 \text{ kN}$. Udaljenost nosača prikazana je slikom 6. i iznosi $l = 952 \text{ mm}$. U Tablici 6. prikazana su dopuštena opterećenja u ovisnosti o ranije navedenim parametrima.

Tablica 6. Dopušteno opterećenje KLASIK rešetke



Fv v kN/m²
Nosilnost pri
enakomerno
razporejeni
obremenitvi
kN/m²



Fp v kN
Nosilnost pri
obremenitvi na
površino 200 × 200
mm v osrednjem
delu rešetke

Tip Nosilni trak	DOM 25 × 2 mm		KLASIK 30 × 2 mm		STABIL 30 × 3 mm		40 × 2 mm		35 × 3 mm	
Razdalja med opornimi točkami	Fv	Fp	Fv	Fp	Fv	Fp	Fv	Fp	Fv	Fp
300 mm	73,64	4,94	106,05	7,06	159,07	10,58	188,53	12,31	216,52	14,26
400 mm	41,43	3,30	59,65	4,70	89,48	7,06	106,05	8,21	121,79	9,51
500 mm	26,51	2,47	38,18	3,53	57,27	5,29	67,87	6,16	77,95	7,13
600 mm	18,41	1,98	26,51	2,82	39,77	4,23	47,13	4,92	54,13	5,71
700 mm	13,53	1,65	19,48	2,35	29,22	3,53	34,63	4,10	39,77	4,75
800 mm	10,36	1,41	14,91	2,02	22,37	3,02	26,51	3,52	30,45	4,08

Iz priloženog, vidljivo je da vrijedi nejednakost:

$$F_p \geq F \quad (59)$$

$$2,82 \text{ kN} \geq 1,15 \text{ kN} \quad (60)$$

Rešetka zadovoljava uvjet nosivosti.

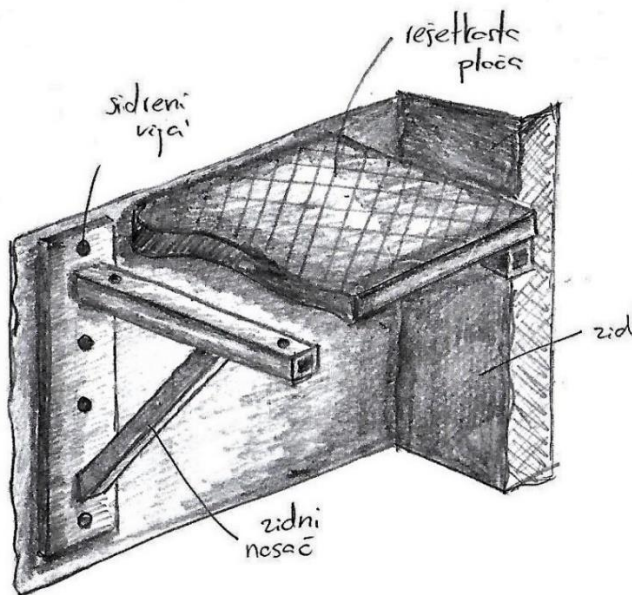
3. NEPOKRETNI DIO GAZIŠTA

3.1. Zahtjevi naručitelja

Za nepokretni dio gazišta definirano je opterećenje od $q = 2000 \text{ kN/m}^2$. Dodatni zahtjev naručitelja je jednostavna montaža i demontaža konstrukcije.

3.2. Konceptualna razrada

Uz uvjet nosivosti, primarni fokus tijekom izrade koncepta nepokretnog dijela gazišta bio je na jednostavnosti konstrukcije. Jednostavna konstrukcija i velik udio standardnih komponenti omogućuje laku montažu i demontažu te raspoloživost potrebnih dijelova. Konceptualno, konstrukciju nepokretnog dijela gazišta čine tri dijela: nosač konstrukcije, posredni element te rešetkasta ploča. Konačni koncept prikazan je Slikom 17.

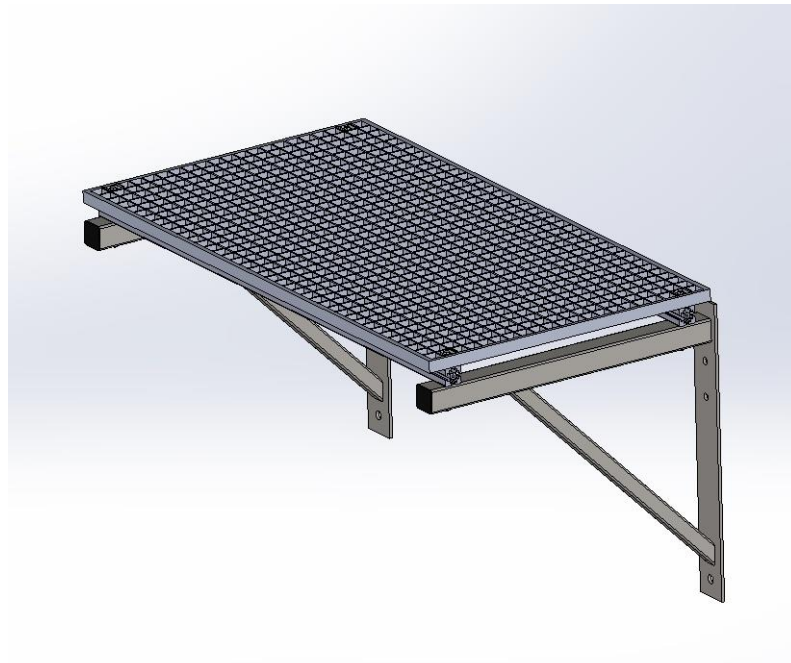


Slika 17. Koncept nepokretnog dijela gazišta

3.3. Izrada 3D modela

3D model nepokretnog dijela gazišta prikazan je Slikom 18. Nosač konstrukcije sidrenim je vijcima učvršćen za betonski zid. Na njega se spaja kvadratni profil, u ovom slučaju aluminijski profil Bosch-Rexroth 45 x 45. Razlog odabira upravo tog profila je mogućnost podešavanja elementa za pričvršćivanje po njegovoj cijeloj dužini. Na taj način nije potrebno voditi računa o provrtima u profilu koji bi tada fiksno definirali položaj odnosno međusobnu udaljenost

zidnih nosača i rešetkastih ploča. Ukoliko naručitelj nije zadovoljan ili ima potrebu za drugaćijim rasporedom rešetkastih ploča, njihova zamjena lako je izvediva pomicanjem pripadajućih pričvrsnih elemenata.



Slika 18. 3D model nepokretnog dijela gazišta

3.4. Proračun čvrstoće nepokretnog dijela gazišta

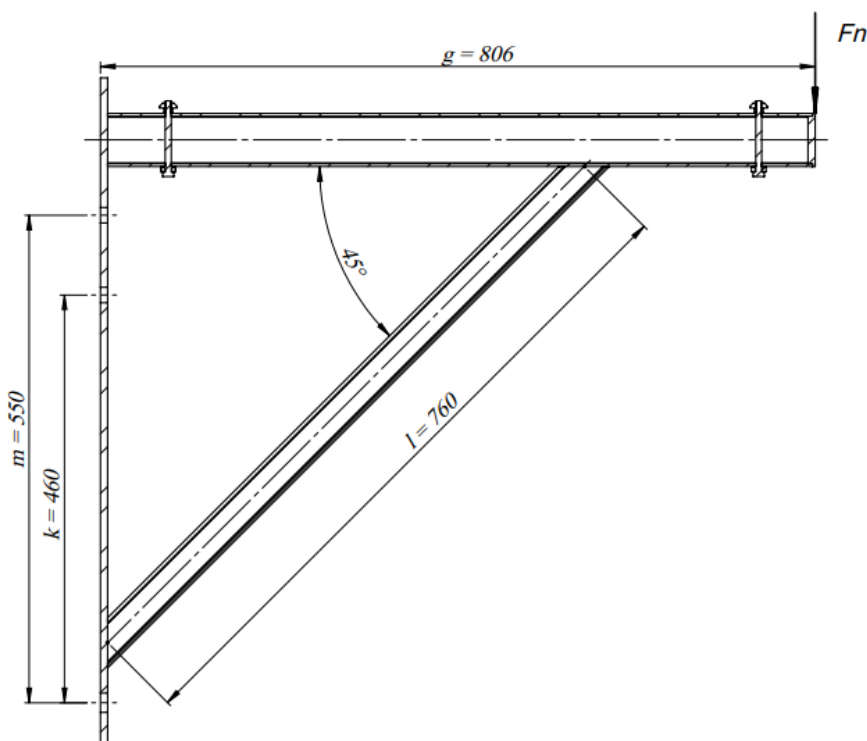
3.4.1. Nazivna opterećenja

Koncentrirano opterećenje F_n nepomičnog dijela gazišta računa se na isti način kao što je prikazano jednadžbom (1) u proračunu pokretnog dijela gazišta. Za površinski najveću rešetku, koncentrirano opterećenje iznosi:

$$F_n = q \cdot A = 2000 \cdot 1,2 = 2400 \text{ N} \quad (61)$$

3.4.2. Proračun sidrenih vijaka

Sidreni vijci temeljeni su u betonskom zidu konstrukcije. Strojarski dio proračuna odnosi se samo na dio vijka izvan betonskog zida. Ranije izračunato koncentrirano opterećenje F_n uzrokuje savijanje nosača konstrukcije. Krakovi momenta savijanja kao i položaj sidrenih vijaka prikazani su na Slici 19.



Slika 19. Krakovi udaljenosti nosača nepokretnog dijela konstrukcije

Moment savijanja iznosi:

$$M_n = F_n \cdot g = 2400 \cdot 806 = 1935 \text{ Nm} \quad (62)$$

Sidreni vijci neravnomjerno preuzimaju moment savijanja. Prva pretpostavka: vijak 1, vertikalno najbliži koncentriranom opterećenju, najviše je opterećen. Druga pretpostavka: vijak 3, vertikalno najudaljeniji od koncentriranog opterećenja, na sebe ne preuzima moment savijanja. Za tako pretpostavljenu situaciju jednadžba momenata zadana je kao:

$$M_n = F_{v1} \cdot m + F_{v2} \cdot k \quad (63)$$

Iz sličnosti trokuta, omjer sila vijka 1 i vijka 2 iznosi:

$$\frac{F_{v1}}{550} = \frac{F_{v2}}{460} \quad (64)$$

Uvrštavanjem izraza (64) u jednadžbu (63) dobiva se iznos sile F_{v1} :

$$F_{v1} = 3520 \text{ N} \quad (65)$$

Za vijak M10, površina jezgre A_j iznosi $A_j = 52,3 \text{ mm}^2$. Iznos vlačnog naprezanja vijka 1:

$$\sigma_v = \frac{F_{v1}}{A_j} = \frac{3520}{52,3} = 68 \text{ Nmm}^{-2} \quad (66)$$

Za kvalitetu vijka 5.6, dopušteno vlačno naprezanje $\sigma_{v,dop}$ prema [3] iznosi:

$$\sigma_{v,dop} = 0,3 \cdot R_e = 0,3 \cdot 300 = 90 \text{ Nmm}^{-2} \quad (67)$$

Vijci zadovoljavaju uvjet nosivosti:

$$\sigma_{v,dop} \geq \sigma_v \quad (68)$$

$$90 \text{ Nmm}^{-2} \geq 68 \text{ Nmm}^{-2} \quad (69)$$

3.4.3. Proračun nosača konstrukcije

Nosač konstrukcije sastoji se od dvije kvadratne cijevi i pravokutne ploče s provrtima za sidrene vijke. Nosiva cijev je SHS 60 x 3,2, a potporna cijev je SHS 40 x 2,6. Cijevi su zavarene na pravokutnu ploču i tako čine krutu konstrukciju. Potporna cijev, najopterećeniji je dio te konstrukcije te je za nju potrebno izvršiti kontrolu na izvijanje i maksimalni dopušteni tlak. Geometrijske karakteristike presjeka potporne cijevi prikazane su na Tablici 7.

Tablica 7. Geometrijske karakteristike potporne cijevi

SHS 40x2.6		
Geometry		
$a = 40 \text{ mm}$		$I_y = I_z = 8.80E+4 \text{ mm}^4$
$t = 2.6 \text{ mm}$		$W_{y,\text{el}} = W_{z,\text{el}} = 4400 \text{ mm}^3$
$r = 3.9 \text{ mm}$		$W_{y,\text{pl}} = W_{z,\text{pl}} = 5310 \text{ mm}^3$
$A = 382 \text{ mm}^2$		$i_y = i_z = 15.2 \text{ mm}$
$A_L = 0.153 \text{ m}^2 \cdot \text{m}^{-1}$		$S_y = S_z = 2655 \text{ mm}^3$
$G = 3 \text{ kg} \cdot \text{m}^{-1}$		$I_t = 1.40E+5 \text{ mm}^4$
		$C_t = 6410 \text{ mm}^3$

Proračun na izvijanje biti će proveden na sličan način kao i u proračunu pokretnog dijela gazišta. Model izvijanja prikazan je pod slučajem b) na slici 12. Stvarna duljina l_{max} zadana je kao:

$$l_{max} = 2 l_0 = 2 \cdot 806 = 1612 \text{ mm} \quad (70)$$

Polumjer inercije površine:

$$i = \sqrt{\frac{I_y}{A}} = \sqrt{\frac{8,8 \cdot 10^4}{382}} 15,2 \text{ mm} \quad (71)$$

Vitkost:

$$\lambda = \frac{l_{max}}{i} = \frac{1612}{15,2} = 106 \quad (72)$$

Naprezanje:

$$\sigma = \frac{F_n}{A} = \frac{2400}{382} = 7 \text{ Nmm}^{-2} \quad (73)$$

Postojeća sigurnost:

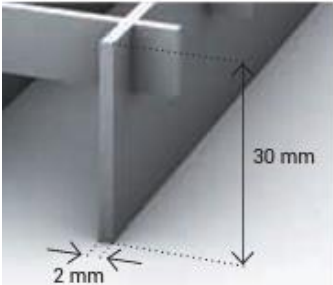
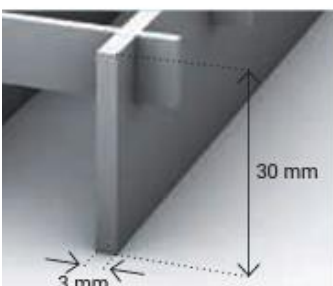
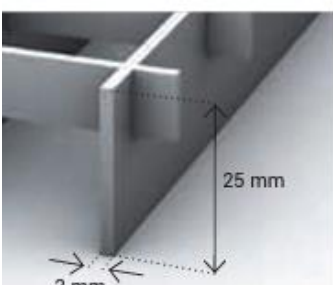
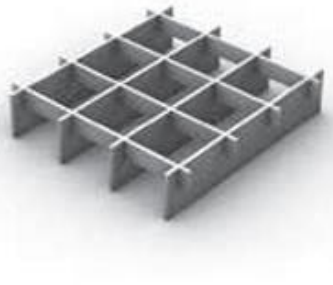
$$S_{Eul} = \frac{\sigma_{krit}}{\sigma} = \frac{E \cdot \pi^2}{\lambda^2 \cdot \sigma} = \frac{2,1 \cdot 10^5 \cdot \pi^2}{106^2 \cdot 7} = 26 \quad (74)$$

Potporna cijev zadovoljava nosivost konstrukcije.

3.4.4. Proračun rešetkastih ploča

Budući da je zahtjev za nosivosti kod nepokretnog dijela gazišta veći u odnosu na pokretni, odabran je i čvršći tip rešetke pod nazivom „STABIL“. Okna STABIL tipa rešetke jednakih su dimenzija kao i kod tipa KLASIK, stoga se za oba dijela gazišta mogu koristiti iste kopče i ostali prćvrsni materijal. Za dimenzije STABIL rešetki uzete su kataloški standardne dimenzije od 1000 x 800 x 30 mm. Izuzetak su tri ploče većih duljina. Dimenzije elemenata STABIL rešetke prikazane su Tablicom 8.

Tablica 8. Dimenzije elemenata STABIL rešetke

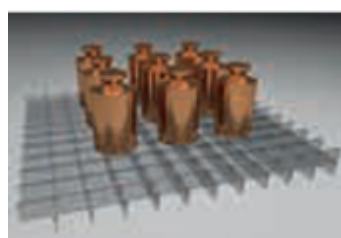
 <p>KLASIK</p> <p>Nosilni trak: 30/2 mm Prečni trak: 10/2 mm</p> <table border="1" style="width: 100%; border-collapse: collapse;"> <thead> <tr> <th>Okence</th> <th>Teža rešetke</th> </tr> </thead> <tbody> <tr> <td>L 33 x 33 mm</td> <td>20 kg/m²</td> </tr> <tr> <td>S 33 x 11 mm</td> <td>26 kg/m²</td> </tr> <tr> <td>M 22 x 22 mm</td> <td>30 kg/m²</td> </tr> </tbody> </table>	Okence	Teža rešetke	L 33 x 33 mm	20 kg/m ²	S 33 x 11 mm	26 kg/m ²	M 22 x 22 mm	30 kg/m ²	 <p>STABIL</p> <p>Nosilni trak: 30/3 mm Prečni trak: 10/2 mm</p> <table border="1" style="width: 100%; border-collapse: collapse;"> <thead> <tr> <th>Okence</th> <th>Teža rešetke</th> </tr> </thead> <tbody> <tr> <td>L 33 x 33 mm</td> <td>28 kg/m²</td> </tr> <tr> <td>S 33 x 11 mm</td> <td>35 kg/m²</td> </tr> <tr> <td>M 22 x 22 mm</td> <td>42 kg/m²</td> </tr> </tbody> </table>	Okence	Teža rešetke	L 33 x 33 mm	28 kg/m ²	S 33 x 11 mm	35 kg/m ²	M 22 x 22 mm	42 kg/m ²	 <p>DOM</p> <p>Nosilni trak: 25/2 mm Prečni trak: 10/2 mm</p> <table border="1" style="width: 100%; border-collapse: collapse;"> <thead> <tr> <th>Okence</th> <th>Teža rešetke</th> </tr> </thead> <tbody> <tr> <td>L 33 x 33 mm</td> <td>18 kg/m²</td> </tr> <tr> <td>S 33 x 11 mm</td> <td>23 kg/m²</td> </tr> <tr> <td>M 22 x 22 mm</td> <td>25 kg/m²</td> </tr> </tbody> </table>	Okence	Teža rešetke	L 33 x 33 mm	18 kg/m ²	S 33 x 11 mm	23 kg/m ²	M 22 x 22 mm	25 kg/m ²	 <p>Okence L 33 x 33 mm</p> <table border="1" style="width: 100%; border-collapse: collapse;"> <thead> <tr> <th>Okence</th> <th>Nosilni trak</th> <th>Teža</th> </tr> </thead> <tbody> <tr> <td>33 x 33</td> <td>20 x 2</td> <td>15 kg/m²</td> </tr> <tr> <td>33 x 33</td> <td>25 x 2</td> <td>18 kg/m²</td> </tr> <tr> <td>33 x 33</td> <td>30 x 2</td> <td>20 kg/m²</td> </tr> <tr> <td>33 x 33</td> <td>35 x 2</td> <td>23 kg/m²</td> </tr> <tr> <td>33 x 33</td> <td>40 x 2</td> <td>26 kg/m²</td> </tr> <tr> <td>33 x 33</td> <td>50 x 2</td> <td>31 kg/m²</td> </tr> <tr> <td>33 x 33</td> <td>20 x 3</td> <td>20 kg/m²</td> </tr> <tr> <td>33 x 33</td> <td>25 x 3</td> <td>24 kg/m²</td> </tr> <tr> <td>33 x 33</td> <td>30 x 3</td> <td>28 kg/m²</td> </tr> <tr> <td>33 x 33</td> <td>35 x 3</td> <td>32 kg/m²</td> </tr> <tr> <td>33 x 33</td> <td>40 x 3</td> <td>36 kg/m²</td> </tr> <tr> <td>33 x 33</td> <td>50 x 3</td> <td>45 kg/m²</td> </tr> </tbody> </table>	Okence	Nosilni trak	Teža	33 x 33	20 x 2	15 kg/m ²	33 x 33	25 x 2	18 kg/m ²	33 x 33	30 x 2	20 kg/m ²	33 x 33	35 x 2	23 kg/m ²	33 x 33	40 x 2	26 kg/m ²	33 x 33	50 x 2	31 kg/m ²	33 x 33	20 x 3	20 kg/m ²	33 x 33	25 x 3	24 kg/m ²	33 x 33	30 x 3	28 kg/m ²	33 x 33	35 x 3	32 kg/m ²	33 x 33	40 x 3	36 kg/m ²	33 x 33	50 x 3	45 kg/m ²
Okence	Teža rešetke																																																																	
L 33 x 33 mm	20 kg/m ²																																																																	
S 33 x 11 mm	26 kg/m ²																																																																	
M 22 x 22 mm	30 kg/m ²																																																																	
Okence	Teža rešetke																																																																	
L 33 x 33 mm	28 kg/m ²																																																																	
S 33 x 11 mm	35 kg/m ²																																																																	
M 22 x 22 mm	42 kg/m ²																																																																	
Okence	Teža rešetke																																																																	
L 33 x 33 mm	18 kg/m ²																																																																	
S 33 x 11 mm	23 kg/m ²																																																																	
M 22 x 22 mm	25 kg/m ²																																																																	
Okence	Nosilni trak	Teža																																																																
33 x 33	20 x 2	15 kg/m ²																																																																
33 x 33	25 x 2	18 kg/m ²																																																																
33 x 33	30 x 2	20 kg/m ²																																																																
33 x 33	35 x 2	23 kg/m ²																																																																
33 x 33	40 x 2	26 kg/m ²																																																																
33 x 33	50 x 2	31 kg/m ²																																																																
33 x 33	20 x 3	20 kg/m ²																																																																
33 x 33	25 x 3	24 kg/m ²																																																																
33 x 33	30 x 3	28 kg/m ²																																																																
33 x 33	35 x 3	32 kg/m ²																																																																
33 x 33	40 x 3	36 kg/m ²																																																																
33 x 33	50 x 3	45 kg/m ²																																																																

Proračun nosivosti biti će proveden za dva karakteristična slučaja.

U prvom slučaju, radi se o rešetki s najvećom površinom i najvećim iznosom koncentriranog opterećenja, no manjim razmakom potpornih točki. Iznos koncentriranog opterećenja zadan je jednadžbom (61) i iznosi $F_{n1} = 2,4 \text{ kN}$. Udaljenost potpornih točki iznosi $l_1 = 800 \text{ mm}$.

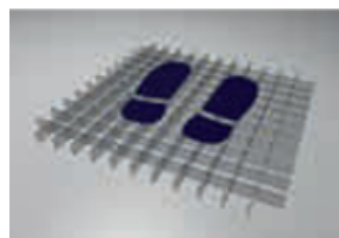
U drugom slučaju, radi se o standardnim rešetkama manje površine, ali veće udaljenosti potpornih točki. Iznos koncentriranog opterećenja je $F_{n2} = 1,6 \text{ kN}$, a udaljenost potpornih točki iznosi $l_2 = 1000 \text{ mm}$. Dopuštene vrijednosti prikazane su u Tablici 9.

Tablica 9. Dopušteno opterećenje STABIL rešetke



Fv v kN/m²

Nosilnost pri
enakomerno
razporejeni
obremenitvi
kN/m²



Fp v kN

Nosilnost pri
obremenitvi na
površino 200 × 200
mm v osrednjem
delu rešetke

Tip Nosilni trak	DOM 25 × 2 mm		KLASIK 30 × 2 mm		STABIL 30 × 3 mm		40 × 2 mm		35 × 3 mm	
Razdalja med opornimi točkami	Fv	Fp	Fv	Fp	Fv	Fp	Fv	Fp	Fv	Fp
300 mm	73,64	4,94	106,05	7,06	159,07	10,58	188,53	12,31	216,52	14,26
400 mm	41,43	3,30	59,65	4,70	89,48	7,06	106,05	8,21	121,79	9,51
500 mm	26,51	2,47	38,18	3,53	57,27	5,29	67,87	6,16	77,95	7,13
600 mm	18,41	1,98	26,51	2,82	39,77	4,23	47,13	4,92	54,13	5,71
700 mm	13,53	1,65	19,48	2,35	29,22	3,53	34,63	4,10	39,77	4,75
800 mm	10,36	1,41	14,91	2,02	22,37	3,02	26,51	3,52	30,45	4,08
900 mm	7,15	1,23	11,78	1,76	17,67	2,65	20,95	3,08	24,06	3,57
1000 mm	4,69	0,89	8,11	1,53	12,16	2,29	16,97	2,74	19,31	3,17
1100 mm	3,20	0,67	5,54	1,14	8,31	1,72	13,13	2,46	13,19	2,70
1200 mm	2,26	0,51	3,91	0,88	5,86	1,32	9,27	2,04	9,31	2,07

Za prvi slučaj:

$$F_p \geq F_{n1} \quad (75)$$

$$3,02 \text{ kN} \geq 2,4 \text{ kN} \quad (76)$$

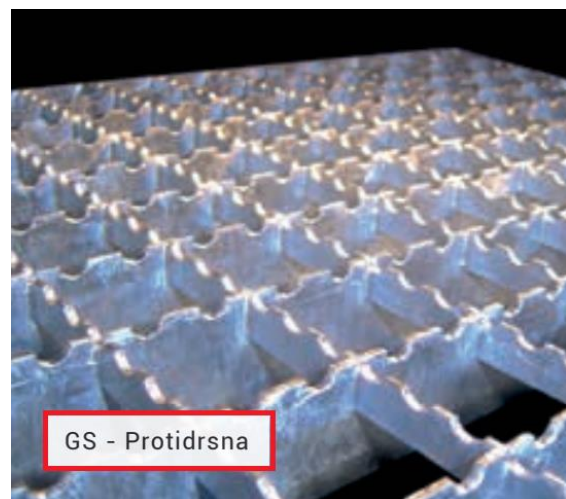
Za drugi slučaj:

$$F_p \geq F_{n2} \quad (77)$$

$$2,29 \text{ kN} \geq 1,6 \text{ kN} \quad (78)$$

Rešetke zadovoljavaju uvjet nosivosti.

Posebnu pozornost treba obratiti i na protukliznost podloge. Zbog upotrebe ulja i maziva u pogonu, glatke površine mogu postati skliske i kao takve predstavljaju potencijalnu opasnost za radnike. Da bi se izbjegle moguće ozljede, potrebno je izabrati razred protukliznosti (u katalogu naveden pod „R“) veći od R10. Zbog toga je za površinski tip rešetke odabrana „GS-Protuklizna“ površina, Slika 20.

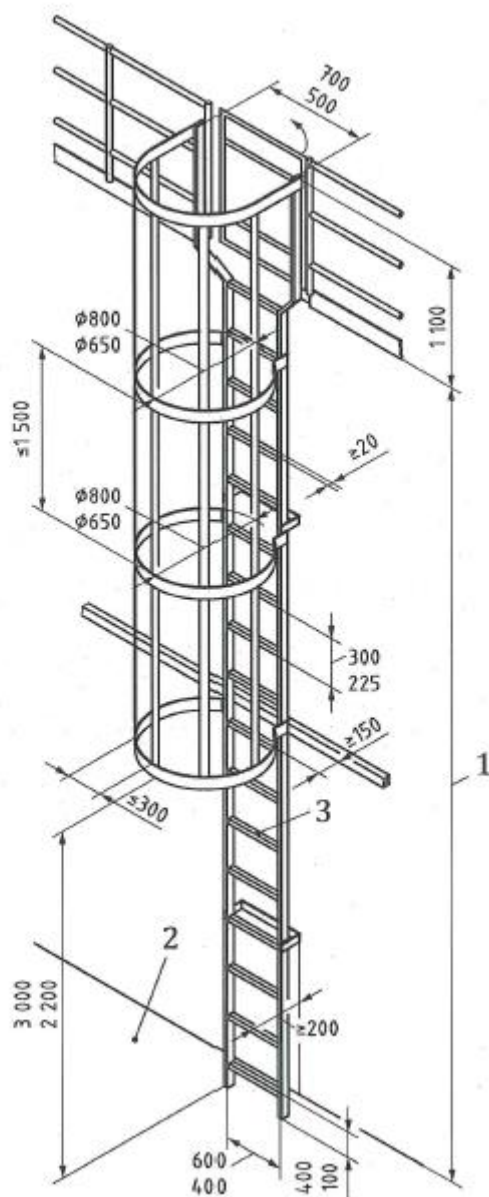


Slika 20. GS - Protuklizna površina

Ovime je završen proračun pokretnog i nepokretnog dijela gazišta.

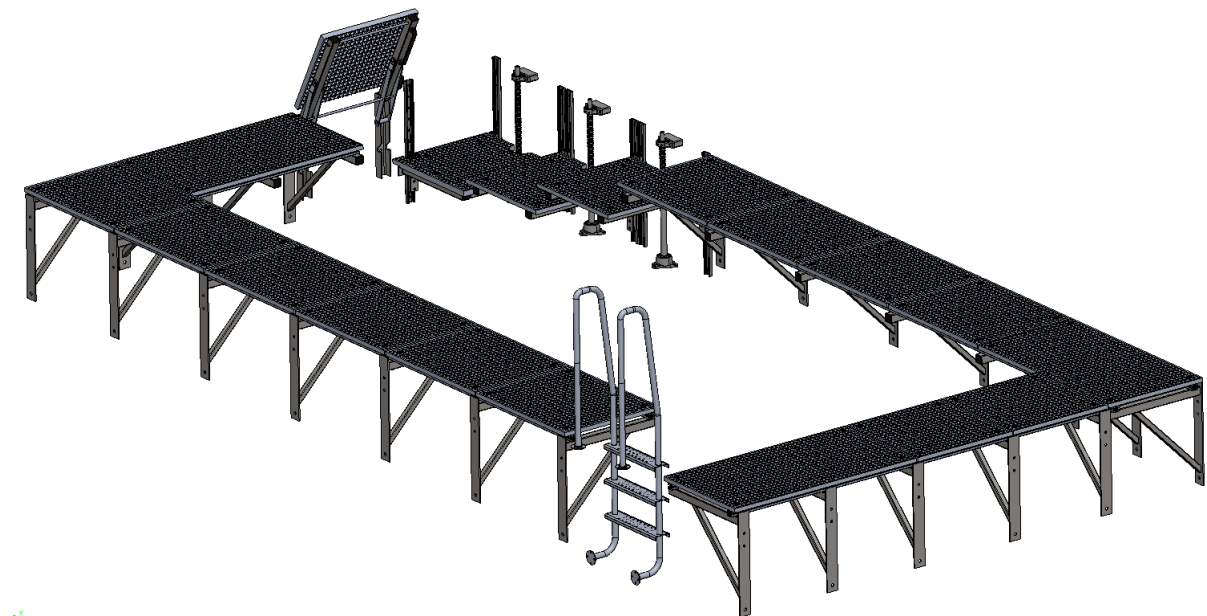
4. Ljestve

Kao dodatak, uz pokretno gazište naručitelj je naveo potrebu za dodatnom mogućnosti spuštanja u jamu objekta. Ovaj zahtjev riješen je pomoću ugradbenih ljestvi. Pridržavajući se norme ISO 14122, zadovoljeni su ergonomski i sigurnosni uvjeti. Norma je preuzeta iz izvora [9] i shematski prikazana na Slici 21.



Slika 21. Shematski prikaz ljestvi prema normi ISO 14122

Ovime su izvršeni svi zahtjevi naručitelja. Konačni prikaz cijele konstrukcije zaštitnog gazišta prikazan je na Slici 22.



Slika 22. Cijela konstrukcija zaštitnog gazišta

LITERATURA

- [1] Decker, K. H.: Elementi strojeva, Tehnička knjiga Zagreb, 2006.
- [2] <https://www.benkotehna.si/katalog/download/katalog-izdaja5-2014-web.pdf>
- [3] Krautov strojarski priručnik, Sajema Zagreb, 2009.
- [4] <http://www.staticstools.eu/en>
- [5] Ščap, D.: Transportni uređaji, Zagreb, 2004.
- [6] <https://rollon.cld.bz/linear-line-EN/30/>
- [7] Kranjčević, N.: Elementi strojeva, Zagreb, 2012.
- [8] Kranjčević, N.: Vijci i navojna vretena, Zagreb, 2014.
- [9] <https://www.gt-engineering.it/en/en-iso-standards/scale-fisse-14122-4>

PRILOZI

I. Tehnička dokumentacija

1 2 3 4 5 6 7 8

A

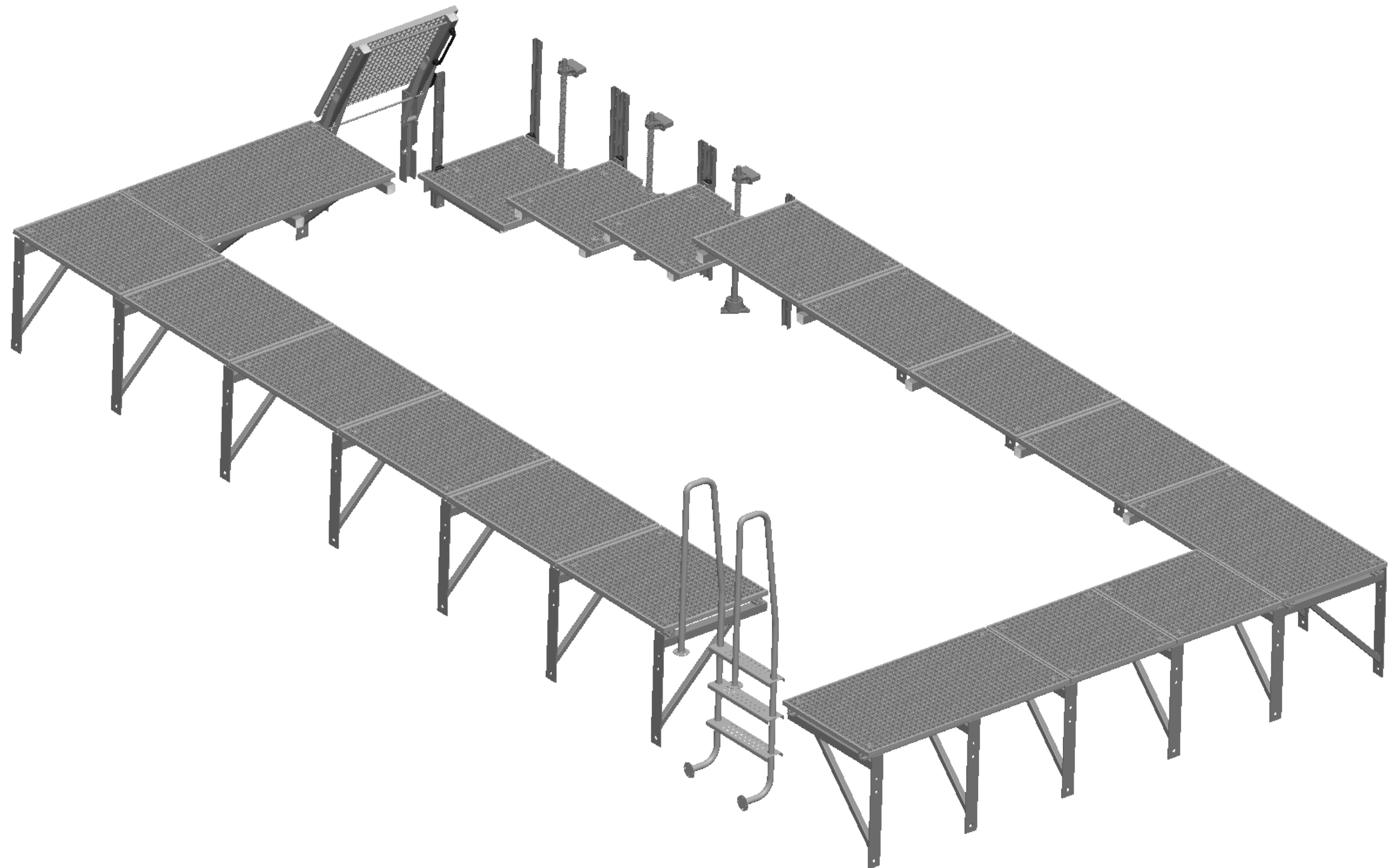
B

C

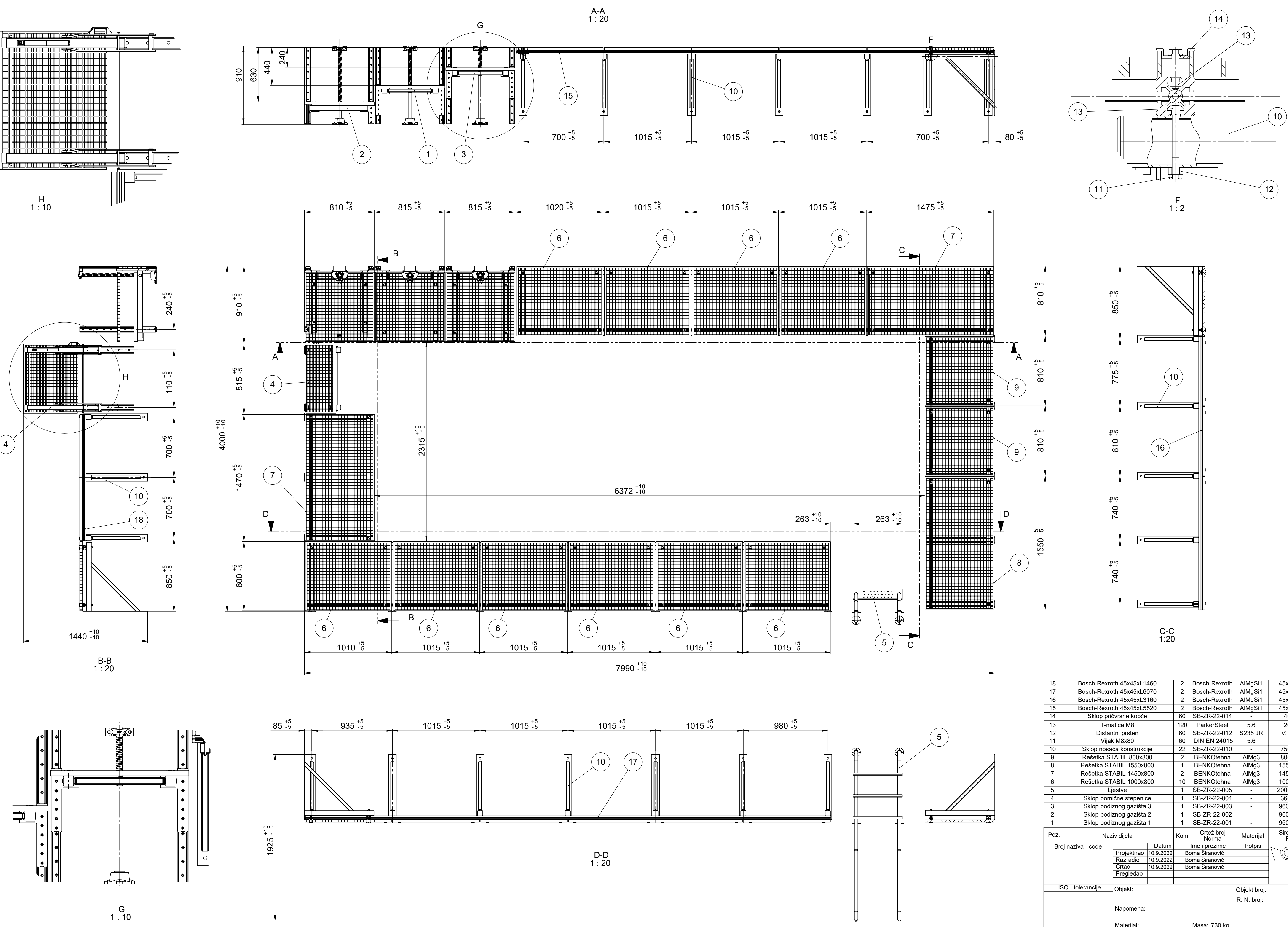
D

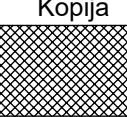
E

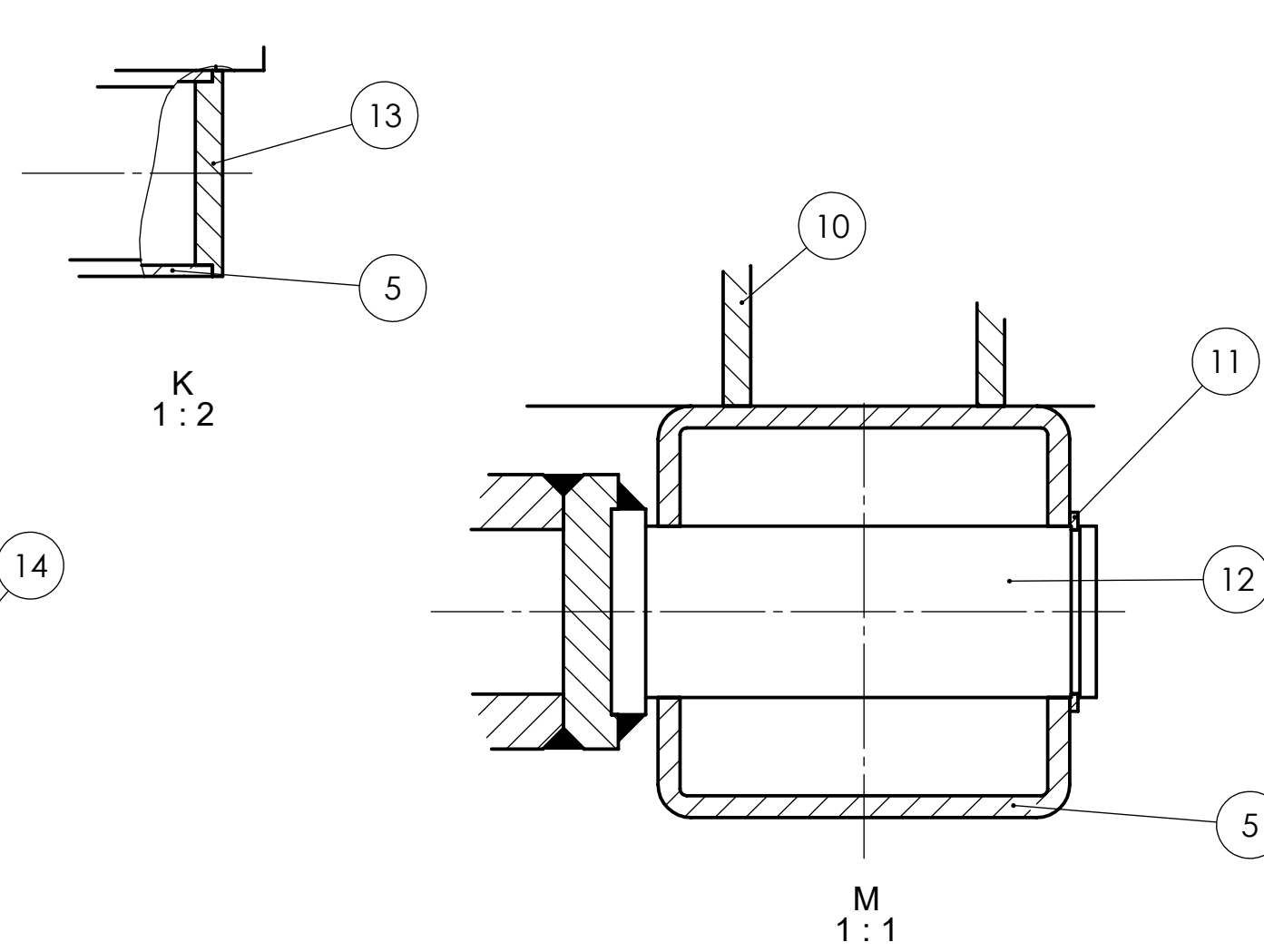
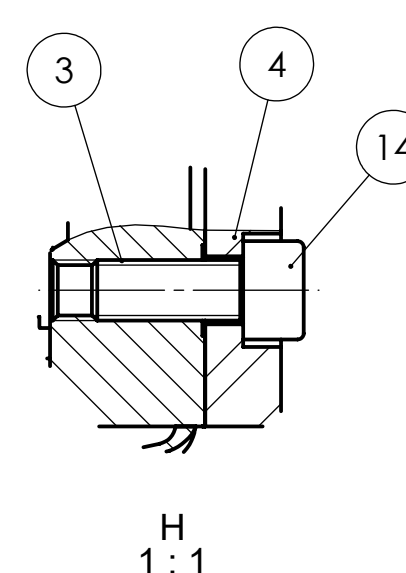
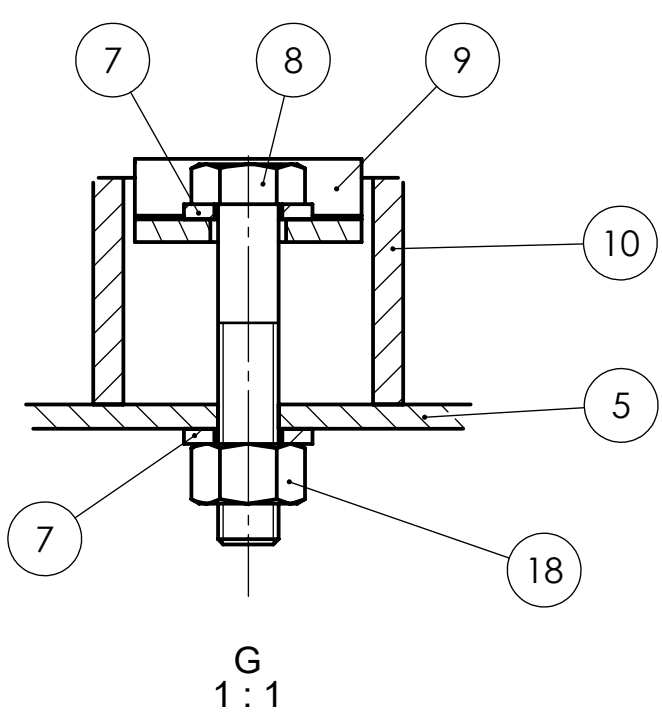
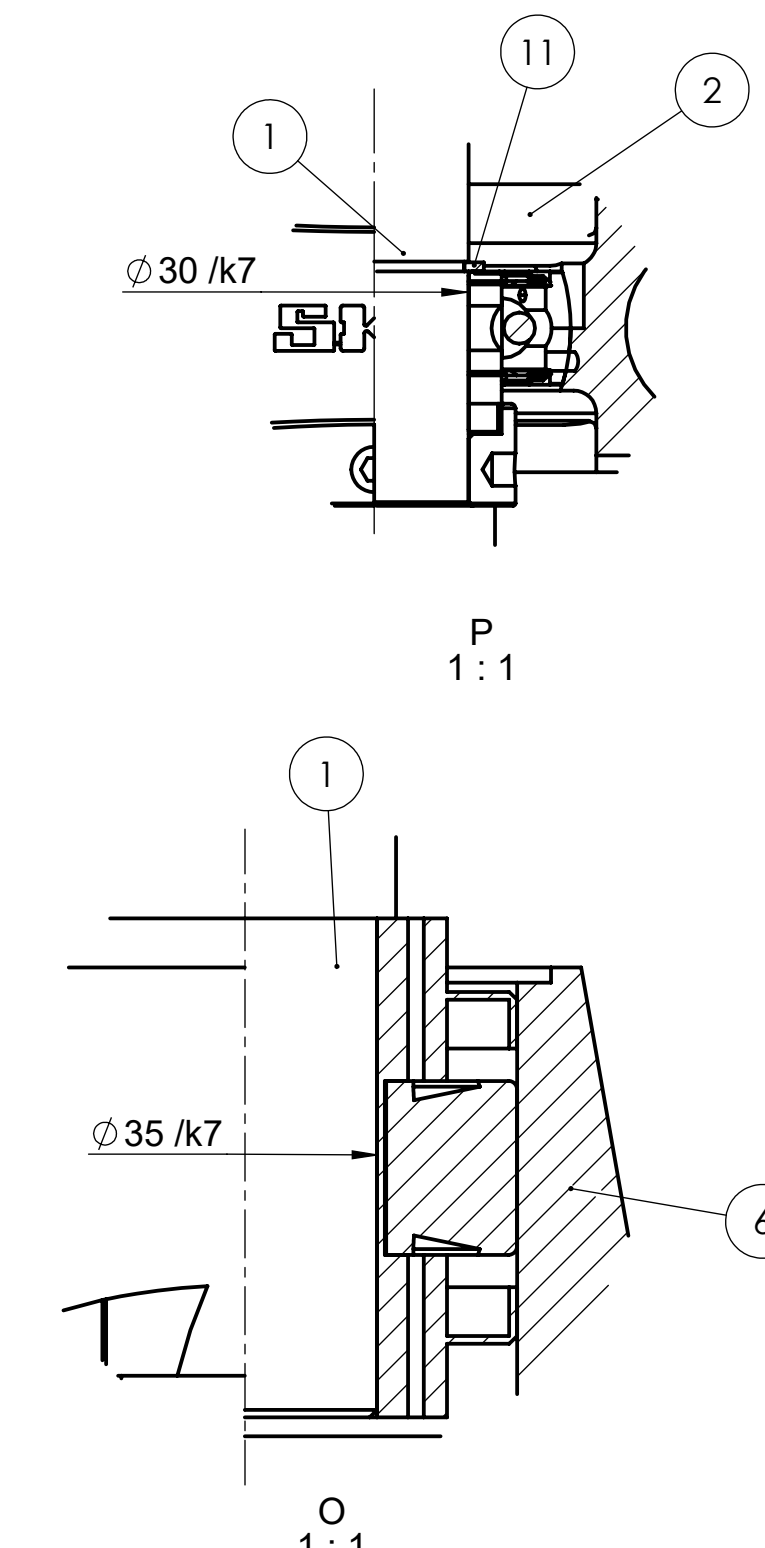
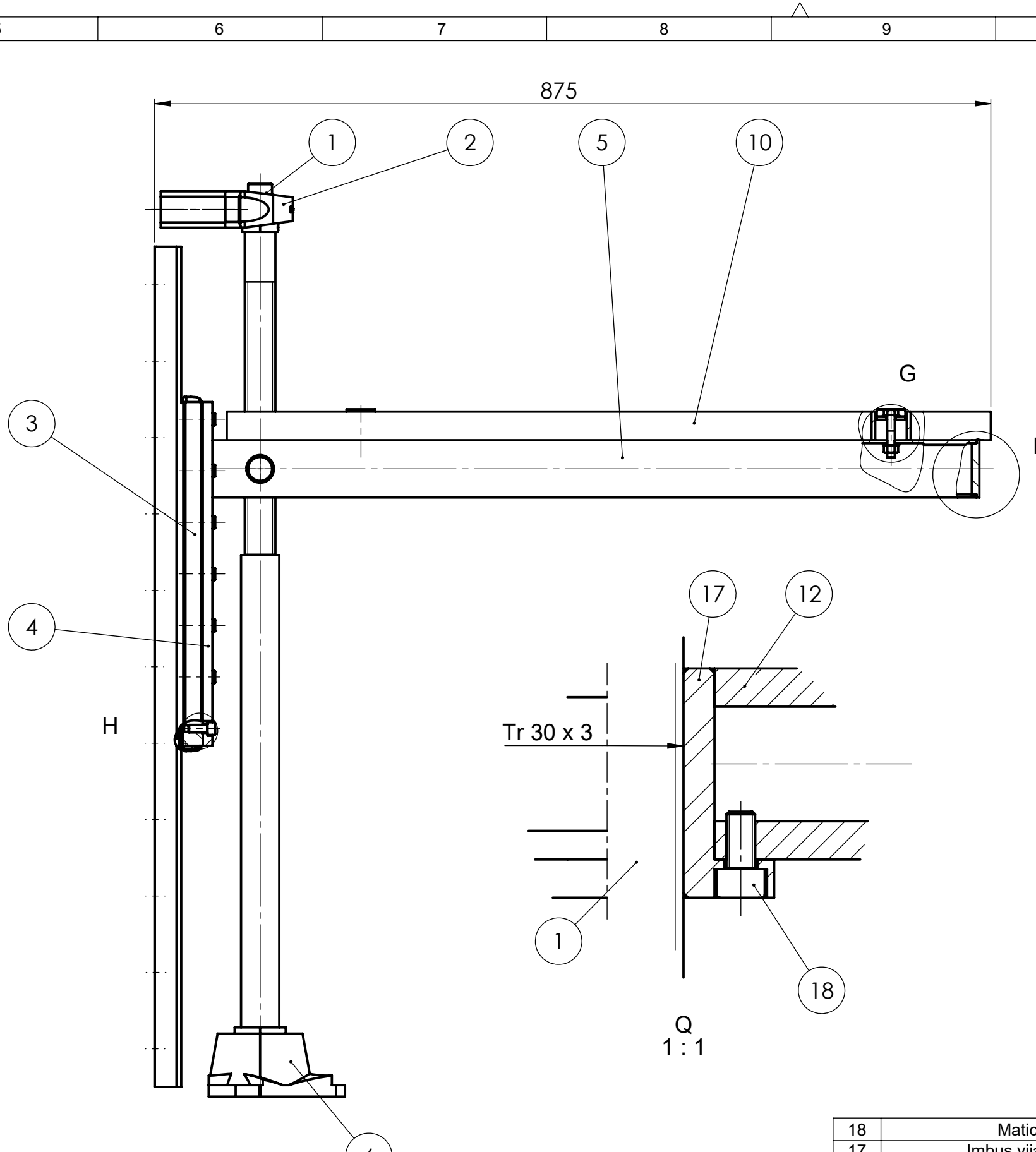
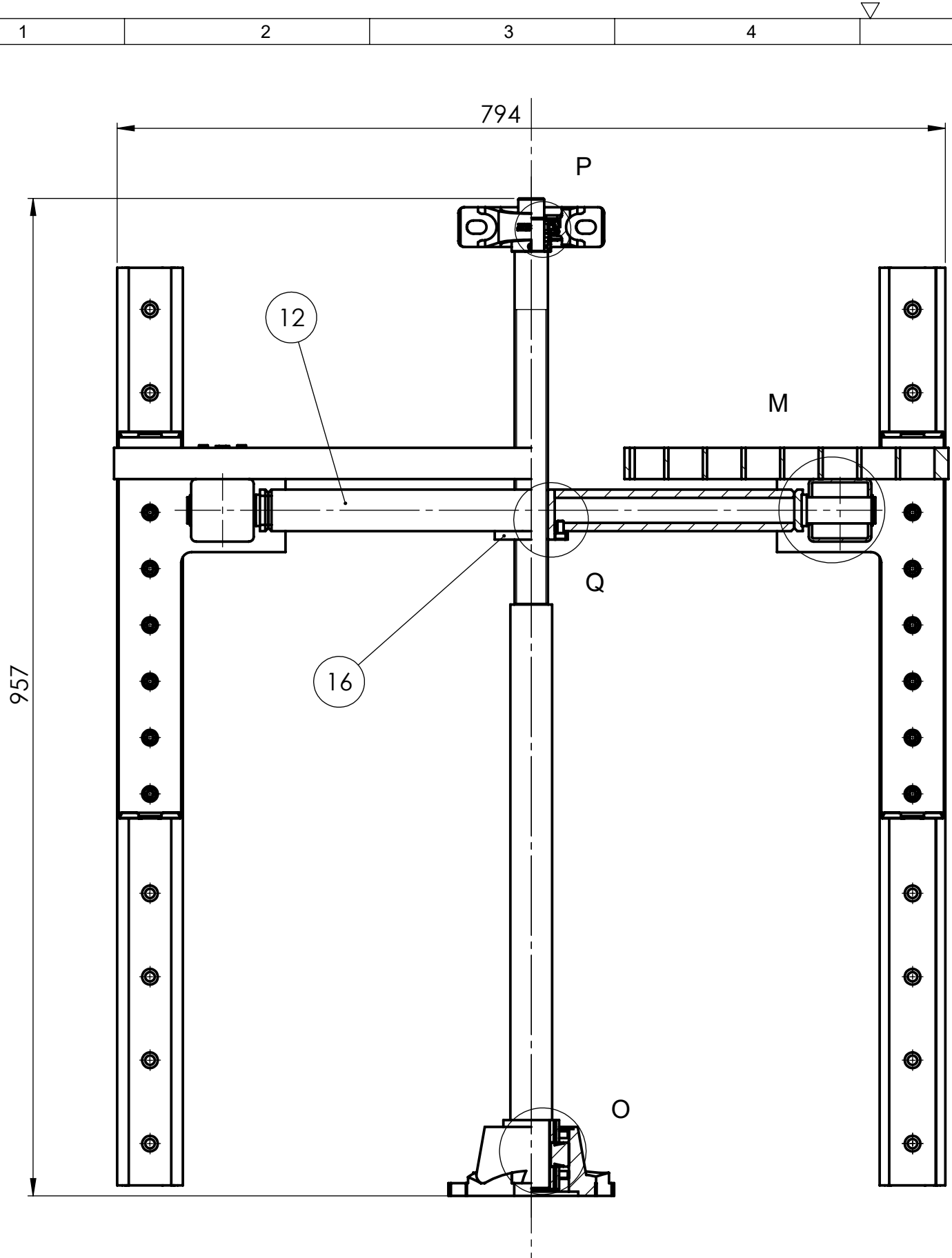
F



ZAŠTITNO GAZIŠTE



Poz.	Naziv dijela	Kom.	Crtež broj Norma	Materijal	Sirove dimenzije Proizvođač	Masa	
18	Bosch-Rexroth 45x45xL1460	2	Bosch-Rexroth	AlMgSi1	45x45xL1460	1,7	
17	Bosch-Rexroth 45x45xL6070	2	Bosch-Rexroth	AlMgSi1	45x45xL6070	6,3	
16	Bosch-Rexroth 45x45xL3160	2	Bosch-Rexroth	AlMgSi1	45x45xL3160	3,4	
15	Bosch-Rexroth 45x45xL5520	2	Bosch-Rexroth	AlMgSi1	45x45xL5520	5,9	
14	Sklop pričvrsne kopče	60	SB-ZR-22-014	-	40x40x60	0,002	
13	T-matica M8	120	ParkerSteel	5.6	20x20x11	0,03	
12	Distantni prsten	60	SB-ZR-22-012	S235 JR	Ø 17x Ø 9x8	0,01	
11	Vijak M8x80	60	DIN EN 24015	5.6	M8x80	0,03	
10	Sklop nosača konstrukcije	22	SB-ZR-22-010	-	750x780x90	11,2	
9	Rešetka STABIL 800x800	2	BENKOtehna	AlMg3	800x800x30	10,6	
8	Rešetka STABIL 1550x800	1	BENKOtehna	AlMg3	1550x800x30	21,9	
7	Rešetka STABIL 1450x800	2	BENKOtehna	AlMg3	1450x800x30	19,4	
6	Rešetka STABIL 1000x800	10	BENKOtehna	AlMg3	1000x800x30	13,5	
5	Ljestve	1	SB-ZR-22-005	-	2000x570x410	25,2	
4	Sklop pomicne stepenice	1	SB-ZR-22-004	-	360x160x10	34,1	
3	Sklop podiznog gazišta 3	1	SB-ZR-22-003	-	960x880x790	48,5	
2	Sklop podiznog gazišta 2	1	SB-ZR-22-002	-	960x880x790	57,2	
1	Sklop podiznog gazišta 1	1	SB-ZR-22-001	-	960x880x790	47,8	
Broj naziva - code	Naziv dijela		Kom.	Crtež broj Norma	Materijal	Sirove dimenzije Proizvođač	
					Potpis	 FSB Zagreb	
	Projektirao	10.9.2022	Ime i prezime				
	Razradio	10.9.2022	Borna Širanović				
	Crtao	10.9.2022	Borna Širanović				
	Pregledao						
ISO - tolerancije		Objekt:		Objekt broj:			
				R. N. broj:			
		Napomena:				Kopija	
							
		Materijal:		Masa: 730 kg			
		Mjerilo originala 1:20	Naziv: Zaštitno gazište			Pozicija:	
						Format: A1	
						Listova: 1	
			Crtež broj: SB-ZR-2022-000			List: 1	



18	Matica M8	4	ISO 4034	5,6	-	0,002	
17	Imbus vijak M8x25	5	ISO 4762	5,6	-	0,001	
16	Navojna čahura	1	SB-ZR-22-21	P.CuSn12	Ø 65x50	0,6	
15	Desna pričvrsna ploča	1	SB-ZR-22-15	S235 JR	360x160x10	2,1	
14	Imbus vijak M8x25	12	ISO 4762	5,6	-	0,002	
13	Poklopac nosača	2	ParkerSteel	ABS	60x60x8	0,03	
12	Sklop središnjeg nosača	2	SB-ZR-22-12	-	656x95x55	7,7	
11	Uskočni prsten 25	2	DIN 471	S235 JR	Ø 28xØ 23,2x1,3	0,001	
10	Rešetkasta ploča KLASIK	1	BENKOtehna	AlMg3	800x800x30	9,0	
9	Kopča rešetke	4	BENKOtehna	AlMg3	45x30x11	0,013	
8	Vijak M8x45	4	EN 24015	5,6	-	0,003	
7	Podloška M8	8	DIN 433	S235 JR	Ø 17xØ 9x1,5	0,001	
6	Donje ležajno mjesto SKF FYNT 35 F	1	SKF	SKF	180x180x70	3,0	
5	Kvadratna cijev SHS 60X3,2	2	SB-ZR-22-05	S235 JR	60x60x800	4,1	
4	Lijeva pričvrsna ploča	1	SB-ZR-22-04	S235 JR	360x160x10	2,1	
3	Vodilica NSW63-6A-2ZR	2	Rollon	Rollon	51x63x80	8,9	
2	Ležano mjesto SKF P2B 25M-TF	1	SKF	SKF	166x100x45	1,2	
1	Navojno vreteno	1	SB-ZR-22-02	E355	Ø 45x1000	7,2	
Poz. Naziv dijela Kom. Crtež broj Norma Materijal Sirove dimenzije Proizvođač Masa							
Broj naziva - code			Datum	Ime i prezime Potpis			
Projektirao 10.9.2022			Razradio 10.9.2022	Borna Širanović			
Crtao 10.9.2022			Pregledao	Borna Širanović			
ISO - tolerancije Objekt: Objekt broj:							
							R. N. broj:
Napomena:							
Materijal: Materijal: Masa: 47,8 kg							
Ø 55 F7/g6 -0,089 Mjerilo originala Naziv: Sklop podiznog gazišta 1 Pozicija: Format: A2							
Ø 35 /k7 -0,040 1:5 Naziv: Sklop podiznog gazišta 1 Pozicija: Format: A2							
+0,027 +0,002 Crtanje broj: SB-ZR-2022-001 Listova: 1							
+0,002							

FSB Zagreb

Kopija

Objekt:

Objekt broj:

R. N. broj:

Napomena:

Materijal:

Masa: 47,8 kg

Naziv:

Sklop podiznog gazišta 1

Pozicija:

Format: A2

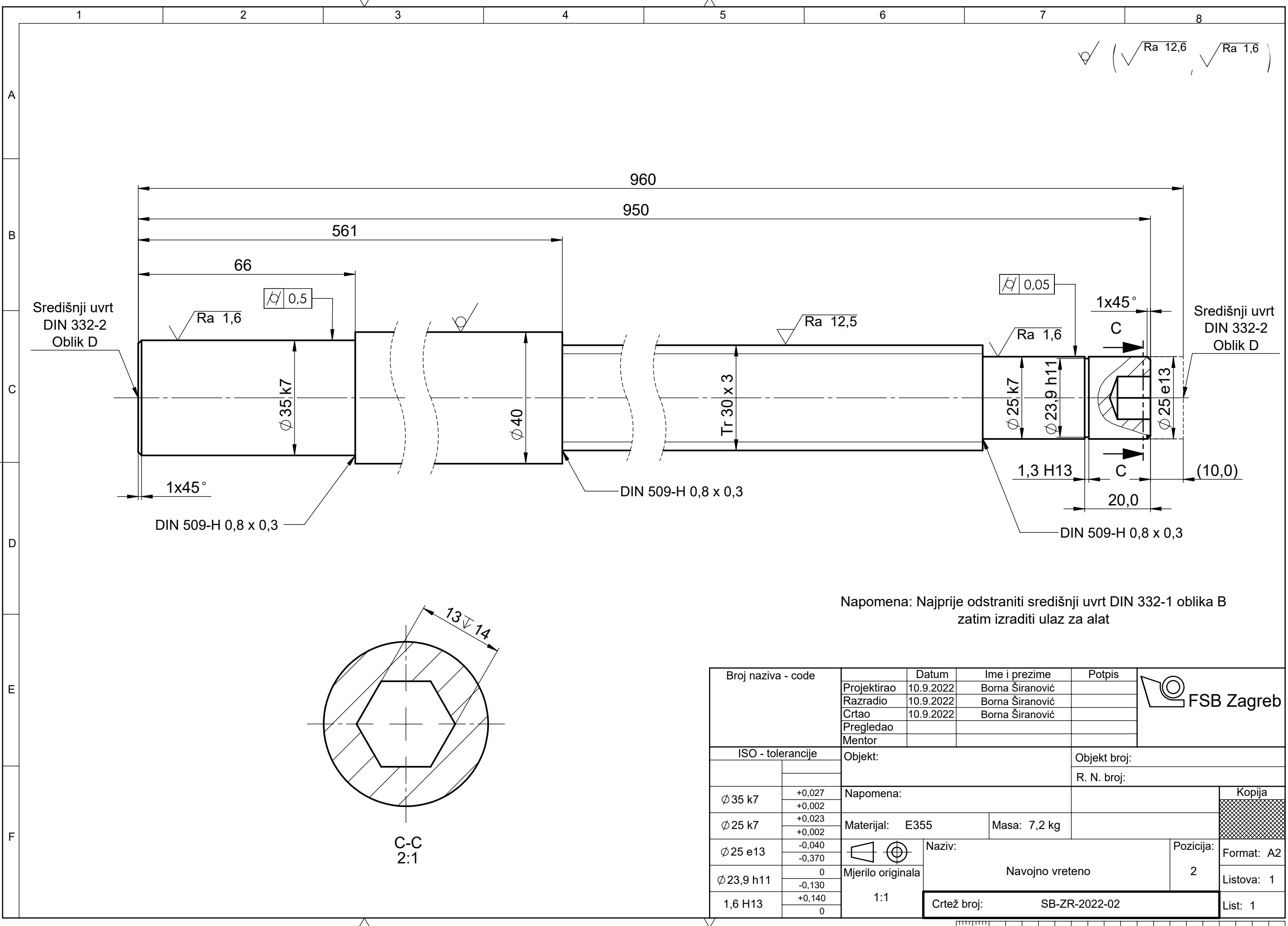
1

Listova: 1

Crtanje broj:

SB-ZR-2022-001

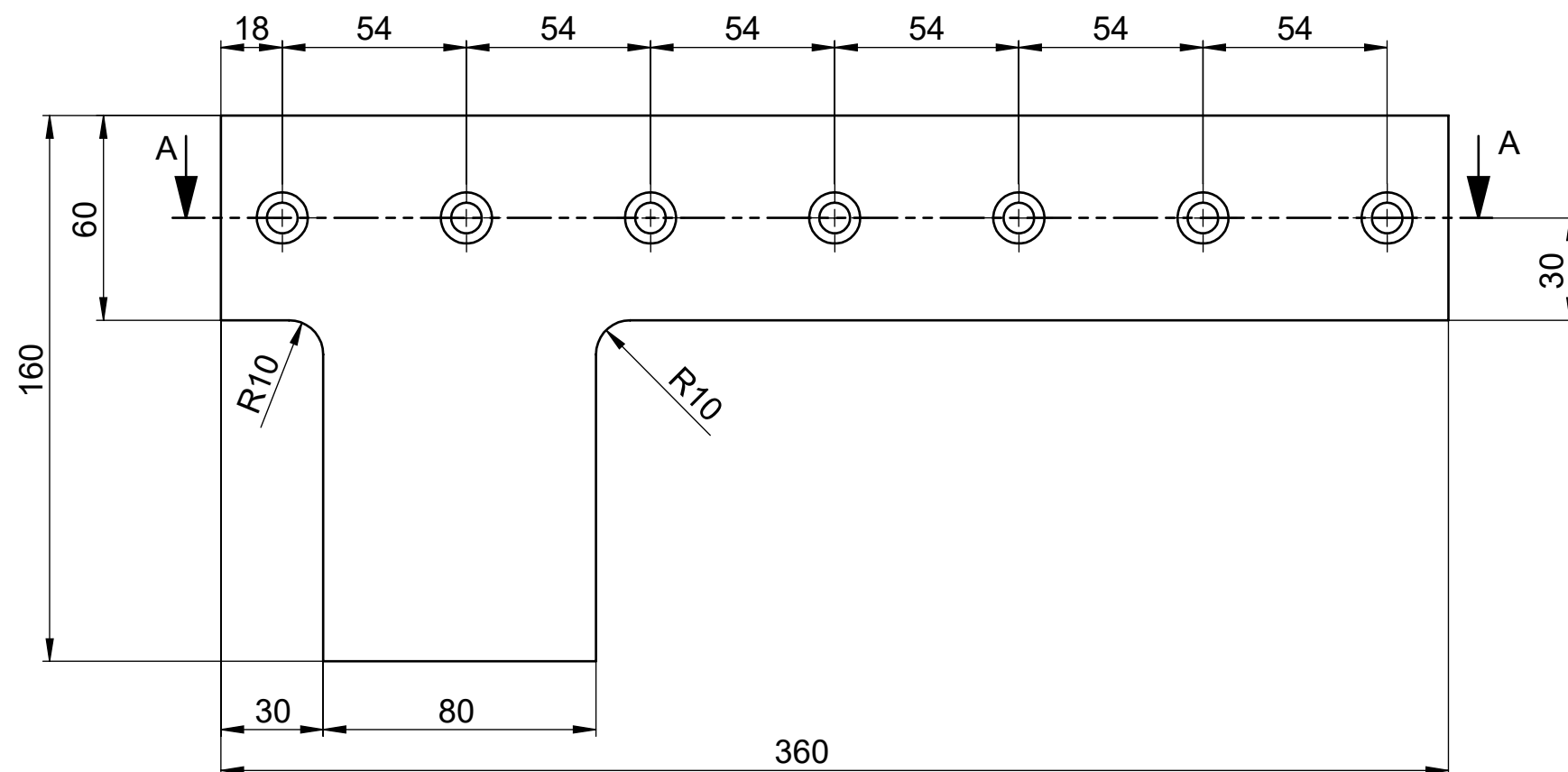
List: 1



1 2 3 4 5 6 7 8

✓ (▽ Ra 12,5)

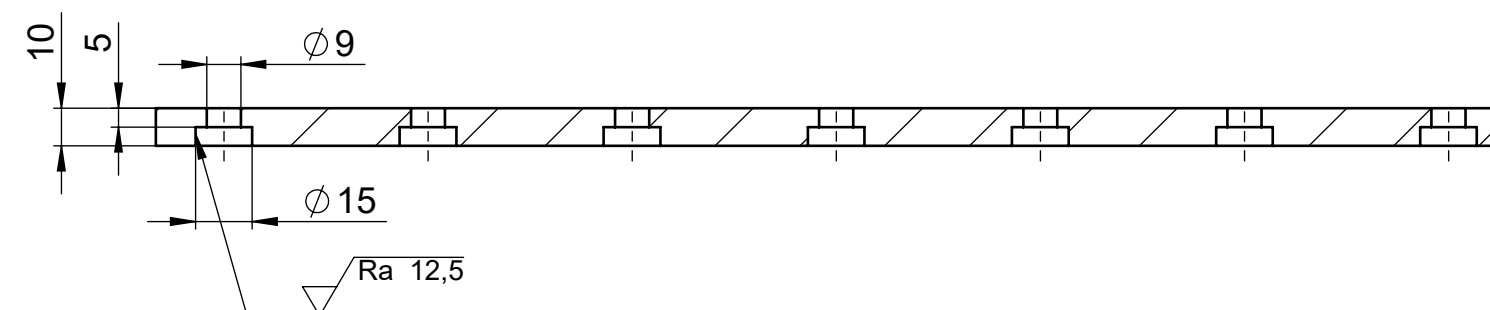
A



B

C

D

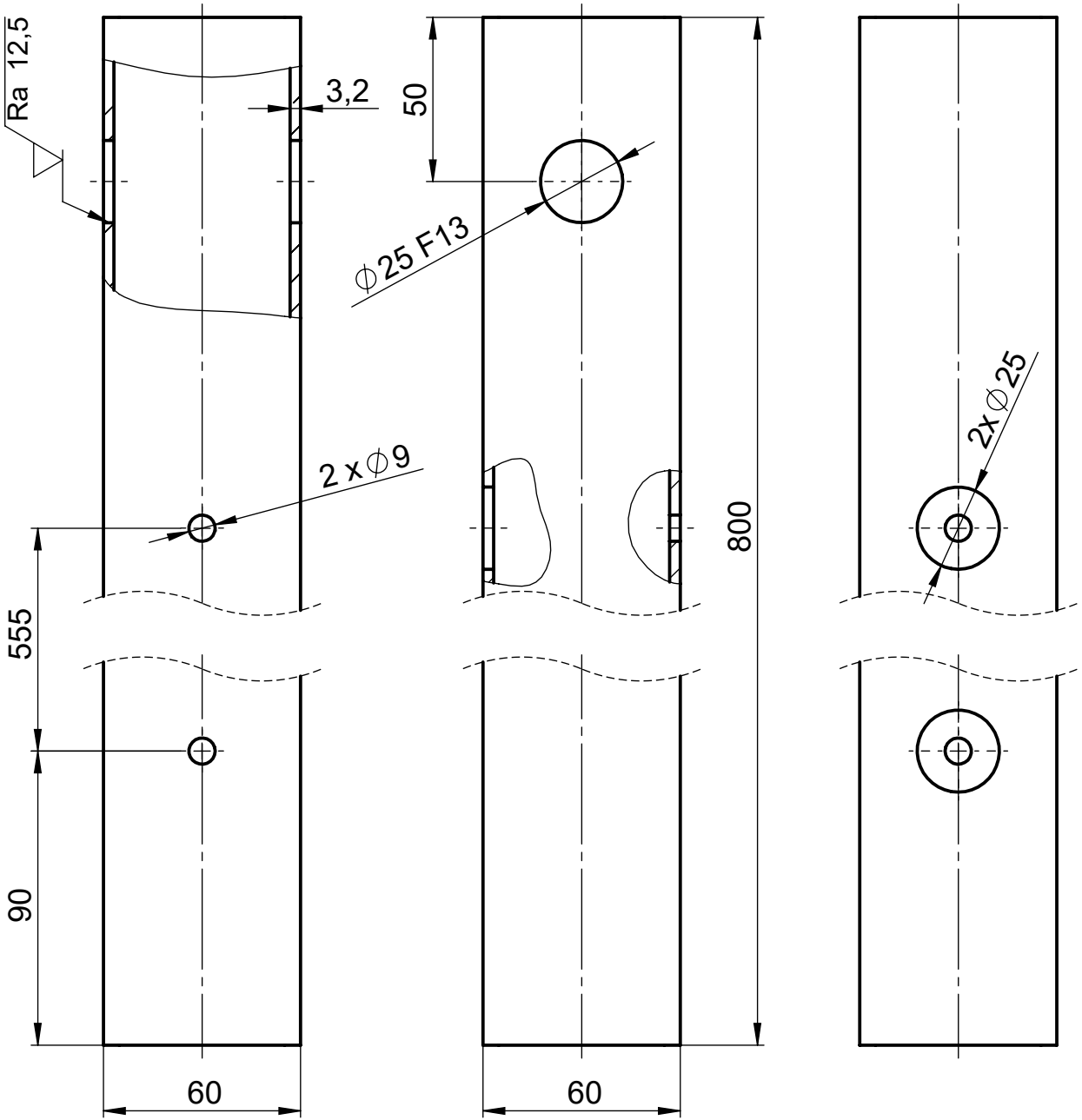


E

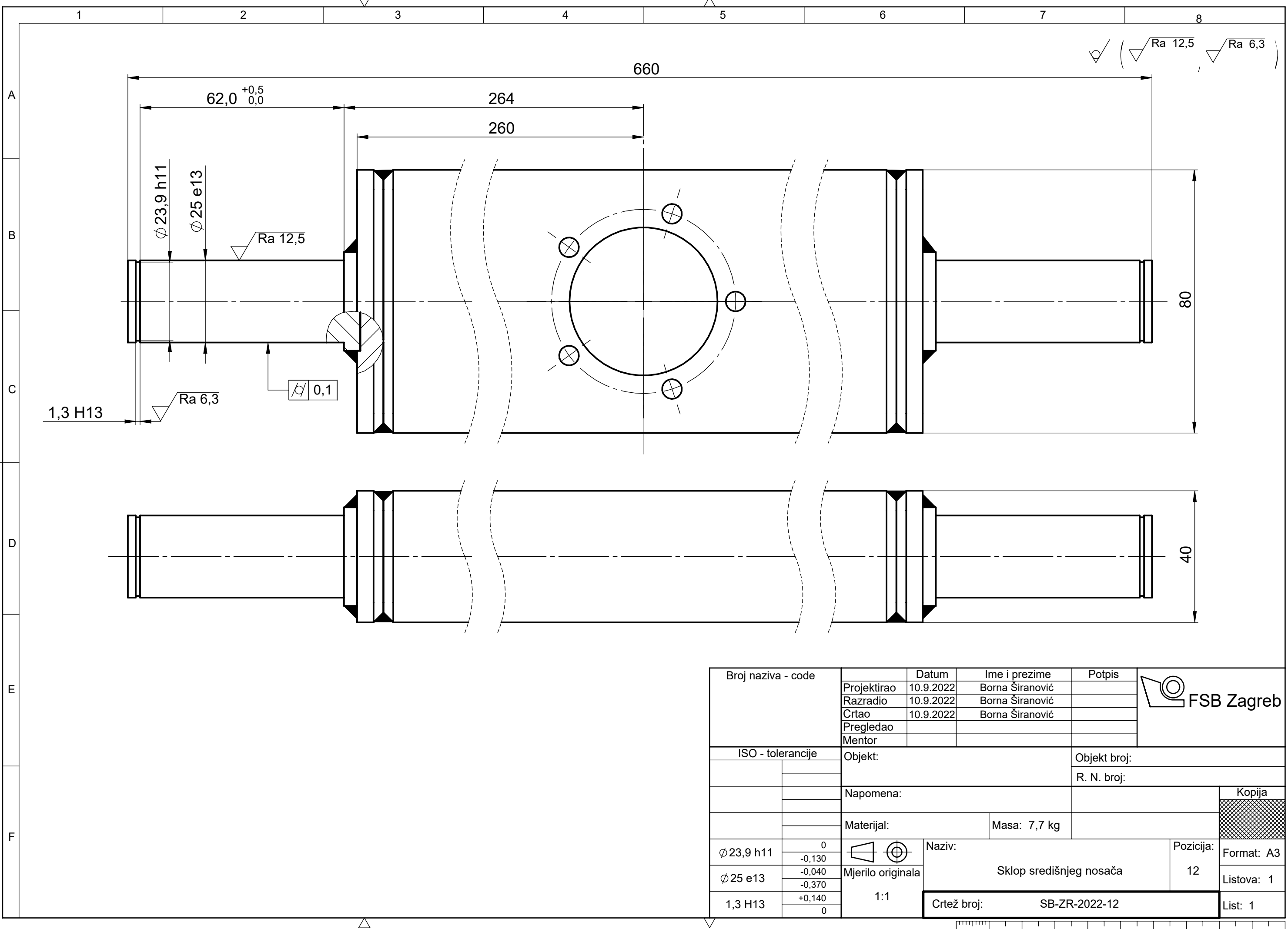
Broj naziva - code	Datum	Ime i prezime	Potpis
Projektirao	10.9.2022	Borna Širanović	
Razradio	10.9.2022	Borna Širanović	
Crtao	10.9.2022	Borna Širanović	
Pregledao			
Mentor			
ISO - tolerancije	Objekt:	Objekt broj:	
		R. N. broj:	
	Napomena:		
	Materijal: S235 JR	Masa: 2,1 kg	
	Naziv:		Kopija
Mjerilo originala	Desna pričvrsna ploča	Pozicija:	Format: A3
1:5		15	Listova: 1
	Crtež broj: SB-ZR-22-15		List: 1

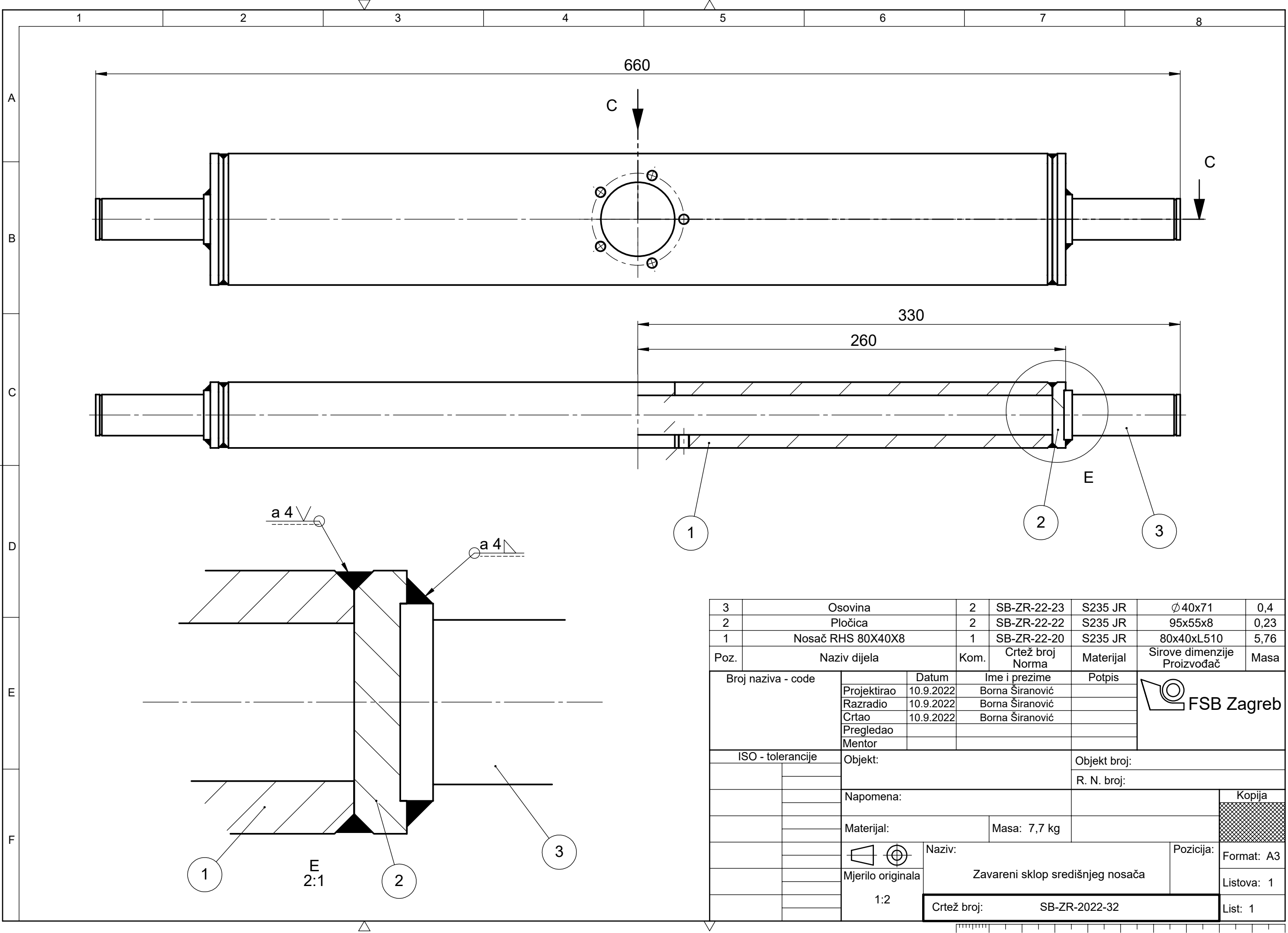
FSB Zagreb

✓ (▽ Ra 12,5)



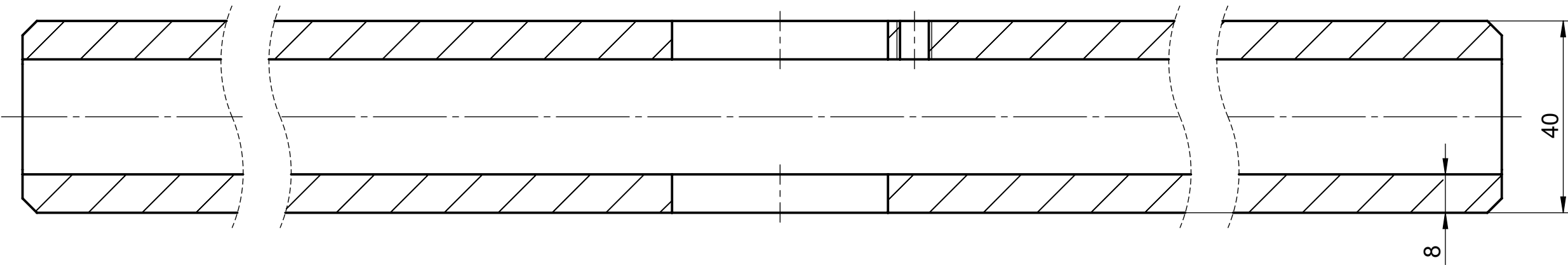
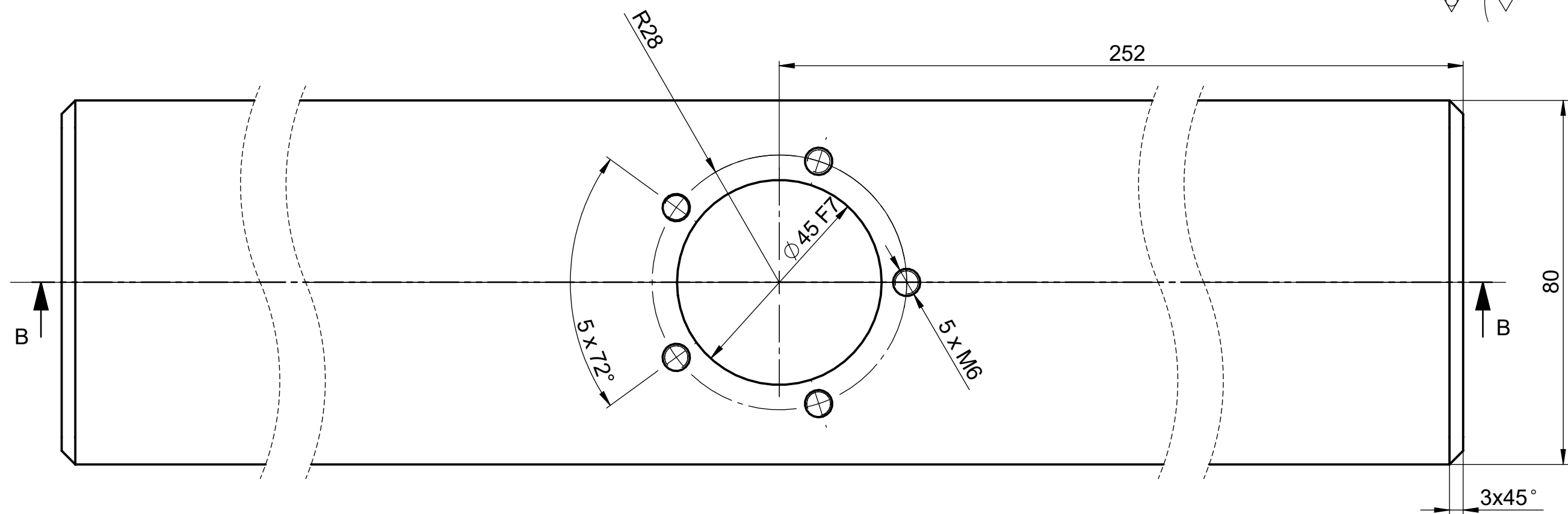
Broj naziva - code	Datum	Ime i prezime	Potpis	 FSB Zagreb
	Projektirao 10.9.2022	Borna Širanović		
	Razradio 10.9.2022	Borna Širanović		
	Crtao 10.9.2022	Borna Širanović		
	Pregledao			
ISO - tolerancije	Objekt:	Objekt broj:		
		R. N. broj:		
	Napomena:			Kopija
	Materijal: S235 JR	Masa: 4,1 kg		
Design by CADLab	Mjerilo originala 1:2	Naziv: Kvadratna cijev SHS 60x3,2	Pozicija: 5	Format: A4
Ø 30 F13 +0,350 +0,020		Crtež broj: SB-ZR-2022-05		Listova: 1
				List: 1





1 2 3 4 5 6 7 8

$\checkmark (\nabla \text{Ra } 6,3)$



Broj naziva - code	Datum	Ime i prezime	Potpis
Projektirao	10.9.2022	Borna Širanović	
Razradio	10.9.2022	Borna Širanović	
Crtao	10.9.2022	Borna Širanović	
Pregledao			
Mentor			

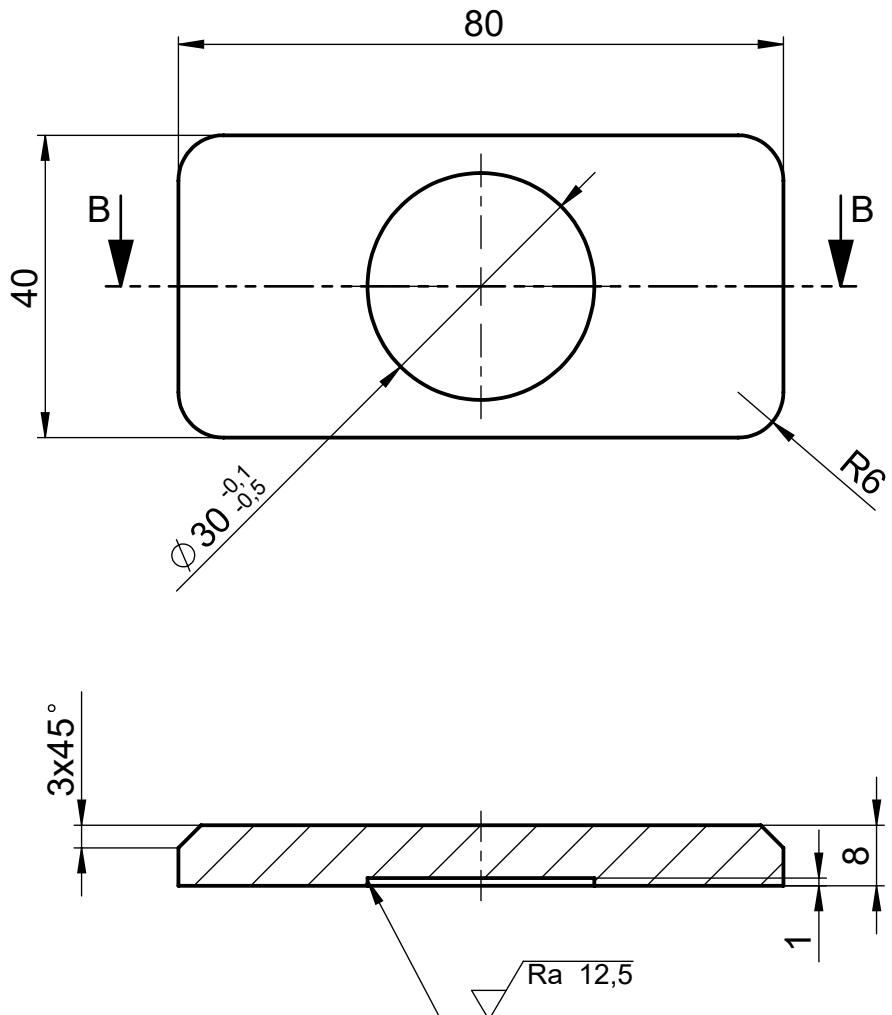
ISO - tolerancije	Objekt:	Objekt broj:
		R. N. broj:

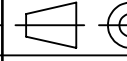
Napomena:	Kopija
Materijal: S235 JR	

Mjerilo originala	Naziv:	Pozicija:
Ø 45 F11	Nosač RHS 80x40x8	Format: A3

Crtež broj:	1	Listova:
SB-ZR-2022-20		List: 1

(Ra 12,5)



Broj naziva - code		Datum	Ime i prezime	Potpis	 FSB Zagreb
Projektirao	10.9.2022	Borna Širanović			
Razradio	10.9.2022	Borna Širanović			
Crtao	10.9.2022	Borna Širanović			
Pregledao					
ISO - tolerancije		Objekt:		Objekt broj:	
				R. N. broj:	
		Napomena:			Kopija
		Materijal: S235 JR		Masa: 0,23 kg	
			Naziv: Pločica	Pozicija: 2	Format: A4
		Mjerilo originala 1:1			Listova: 1
			Crtež broj: SB-ZR-22-22		List: 1

Središnji uvrt DIN 322-1
Oblik B

(∇ Ra 12,5)

Napomena:
Osovini je potrebno
dodatno obraditi
nakon znavara
s nosačem

Središnji uvrt
DIN 322-1
Oblik B

Ra 12,5

$\phi 27$

5

$\phi 30^{0,0}_{-0,2}$

71

Broj naziva - code

Datum

Ime i prezime

Potpis

Projektirao 10.9.2022 Borna Širanović

Razradio 10.9.2022 Borna Širanović

Crtao 10.9.2022 Borna Širanović

Pregledao



ISO - tolerancije

Objekt:

Objekt broj:

R. N. broj:

Napomena:

Kopija

Materijal: S235 JR

Masa: 0,4 kg



Mjerilo originala

Naziv: Osovina

Pozicija: 3

Format: A4

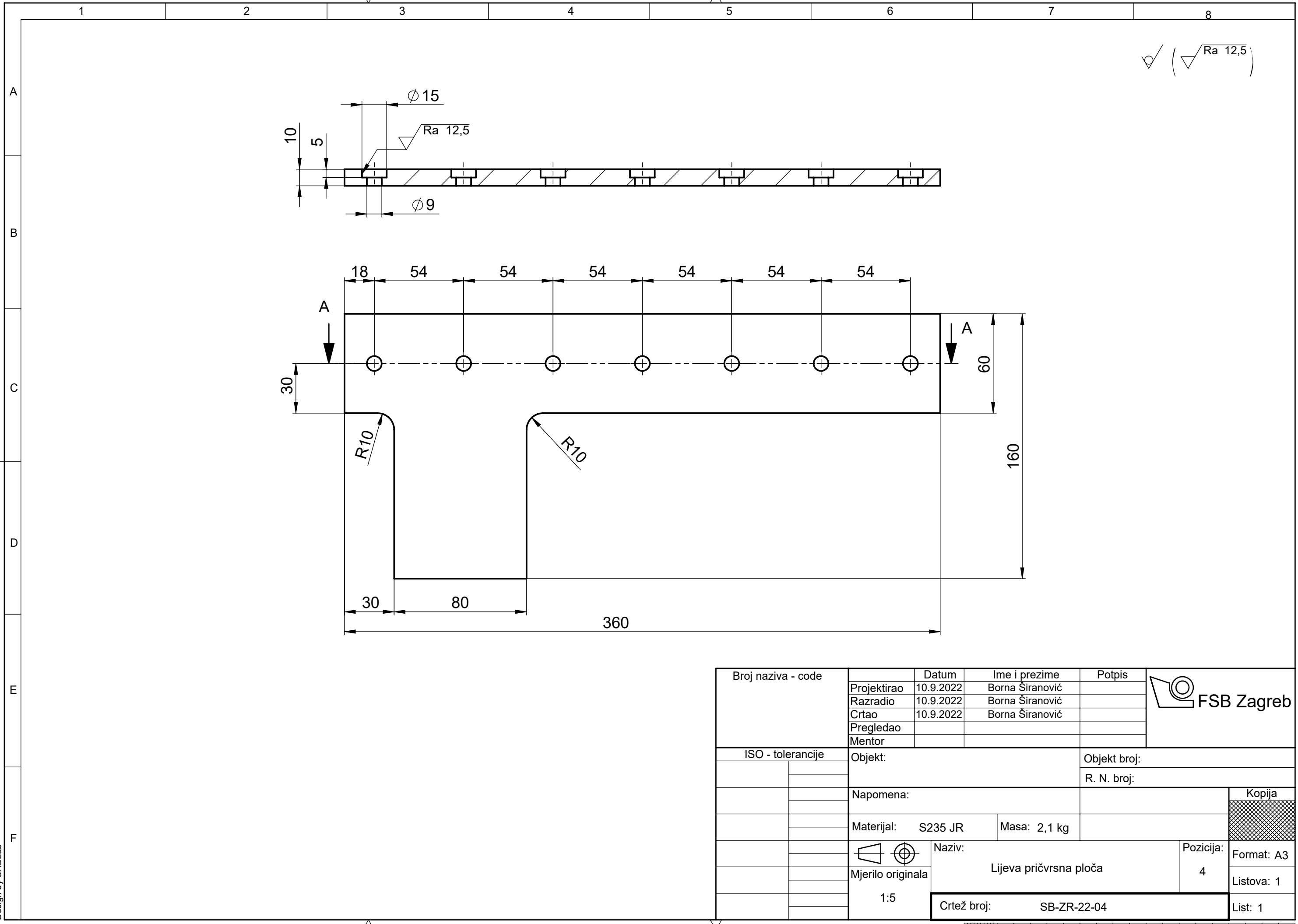
2:1

Crtež broj:

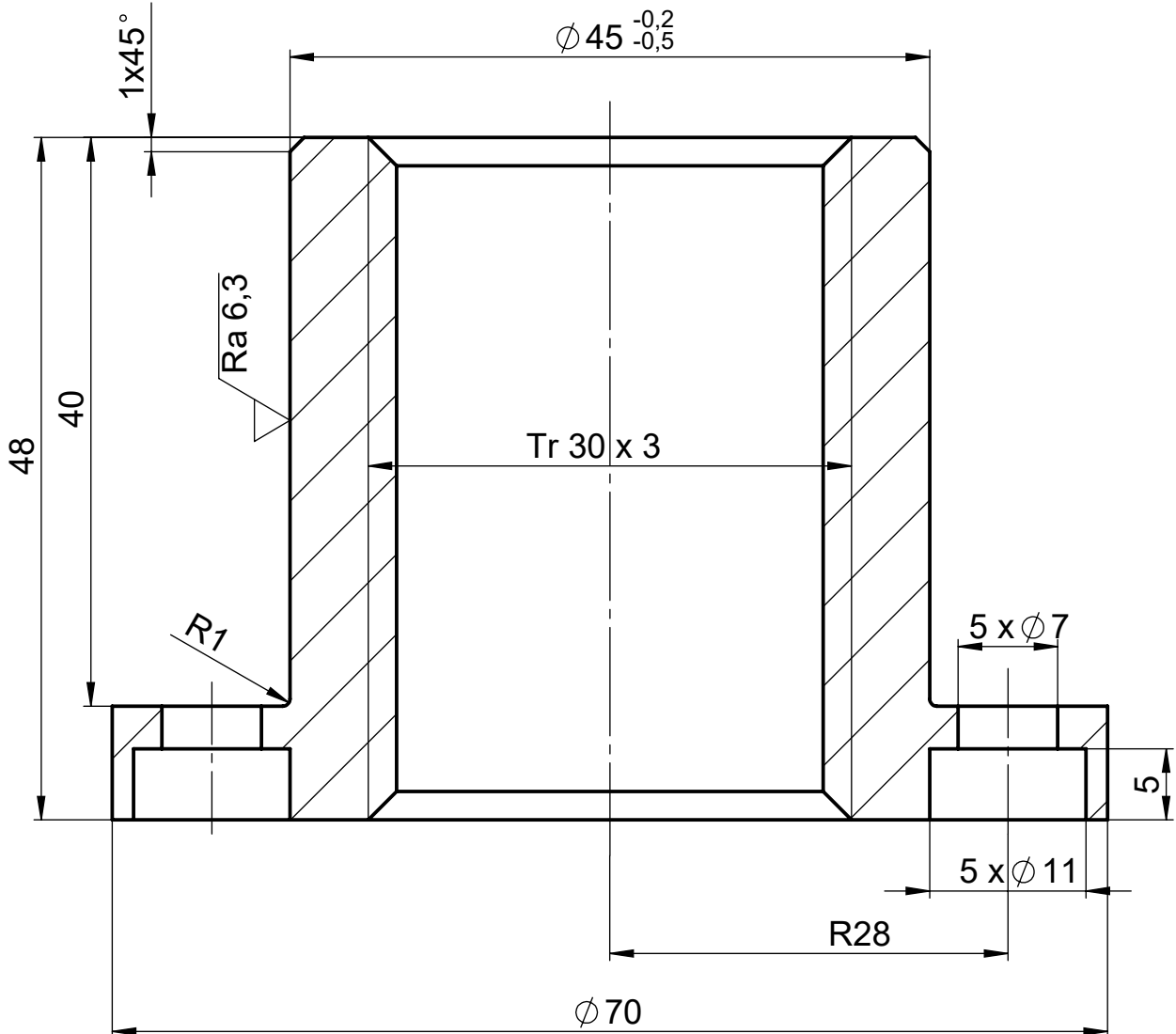
SB-ZR-22-23

List: 1

1 2 3 4 5 6 7 8



(Ra 6,3)



Broj naziva - code	Datum	Ime i prezime	Potpis	 FSB Zagreb
	Projektirao 10.9.2022	Borna Širanović		
	Razradio 10.9.2022	Borna Širanović		
	Crtao 10.9.2022	Borna Širanović		
	Pregledao			
ISO - tolerancije	Objekt:	Objekt broj:		
		R. N. broj:		
	Napomena:			Kopija
	Materijal: P.CuSn14	Masa: 0,6 kg		
	Mjerilo originala 2:1	Naziv: Navojna čahura	Pozicija: 21	Format: A4
				Listova: 1
		Crtež broj: SB-ZR-2022-21		List: 1